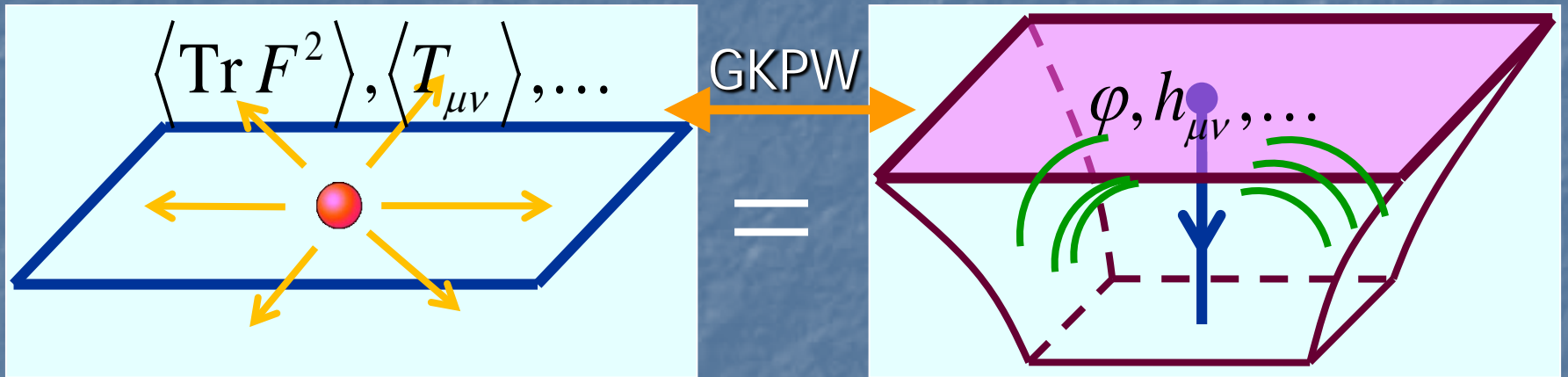


Quark



Quark con masa $m = \infty$ = Cuerda c/extremo en $z = 0$

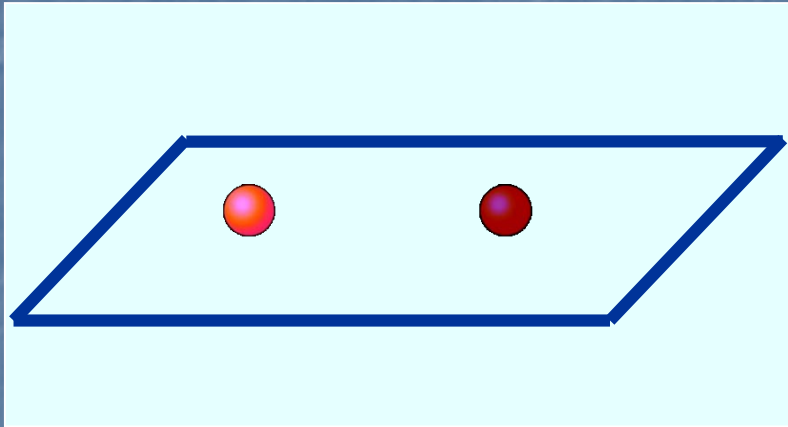
[Maldacena]

$$\text{P.ej., } \left\langle \text{Tr} \left[F^2(\vec{x}, t) + \dots \right] \right\rangle_q = \frac{\sqrt{g_{YM}^2 N_c}}{32\pi^2 |\vec{x}|^4}$$

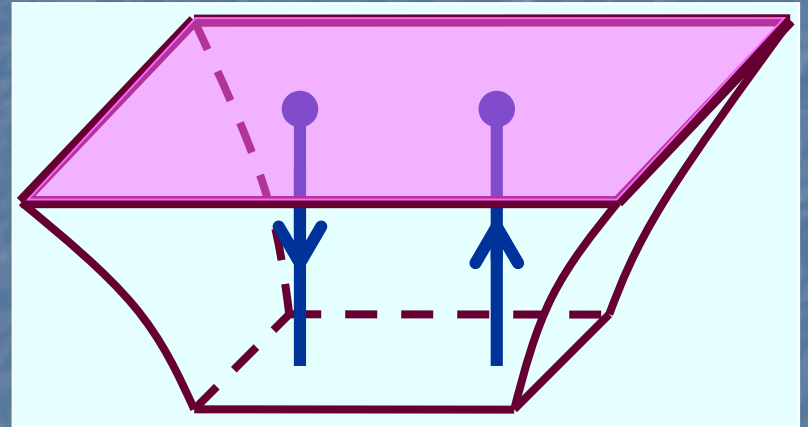
[Danielsson, Kruczenski, Keski-Vakkuri]

Perfil tipo Coulomb (como se espera por invariancia conforme) ✓

Quark y Antiquark



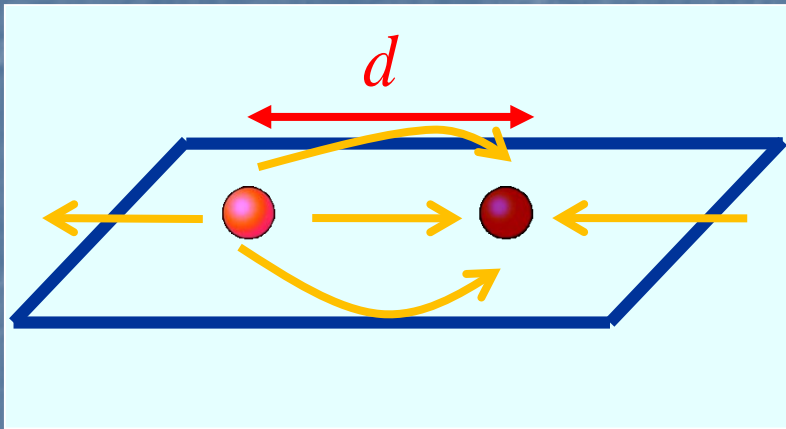
=



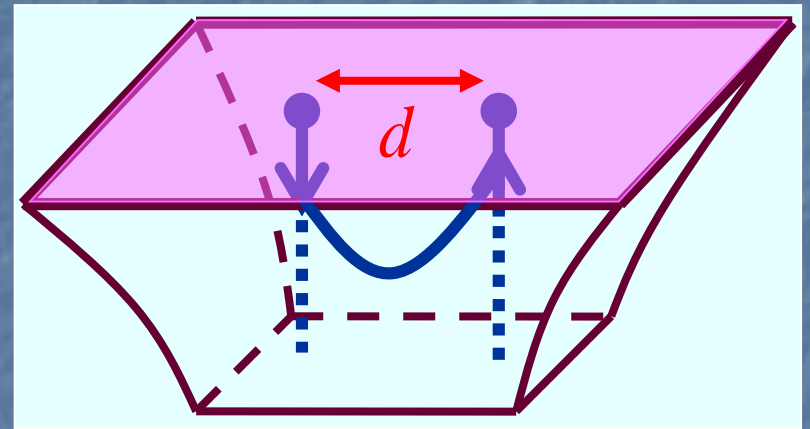
Quark y Antiquark
superpuestos

= 2 Cuerdas c/orientación opuesta

Quark-Antiquark



=



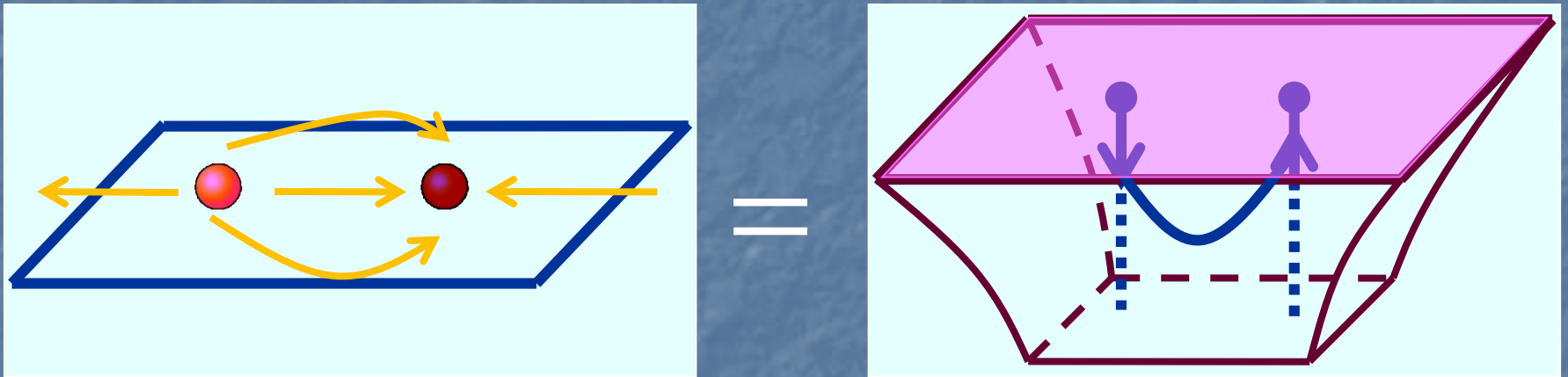
Quark-Antiquark = 1 Cuerda c/AMBOS extremos en $z = 0$

$$\left\langle \text{Tr} \left[F^2(\vec{x}, t) \right] \right\rangle_{q\bar{q} \quad |\vec{x}| \gg d} = \frac{15\Gamma(\frac{1}{4})^4 \sqrt{g_{YM}^2 N_c} d^3}{8(2\pi)^5 |\vec{x}|^7} \quad \left(\text{cf. } \frac{d^2}{|\vec{x}|^6} \right) \quad \checkmark$$

[Callan,AG]

[Klebanov,Maldacena,Thorn]

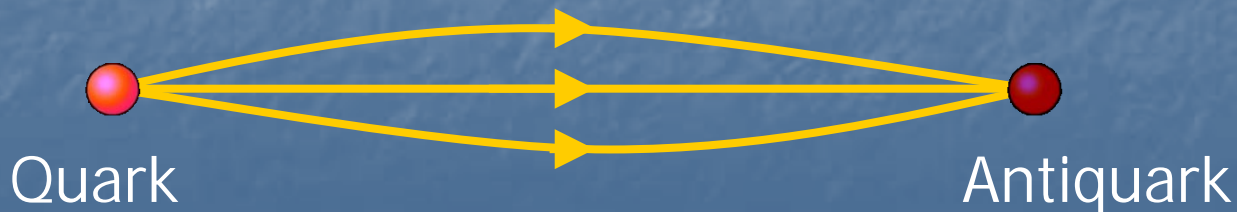
Quark-Antiquark



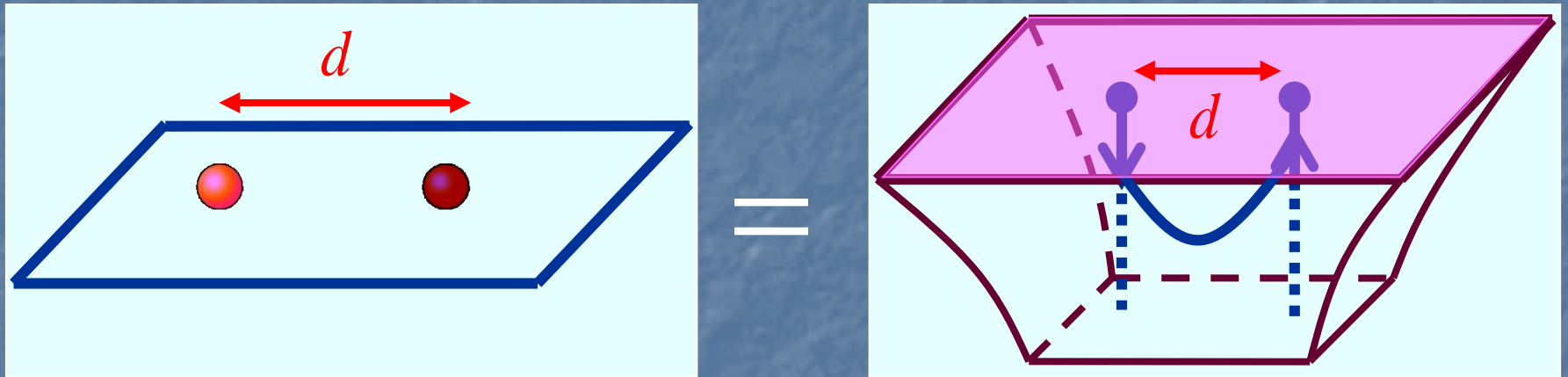
Quark-Antiquark = 1 Cuerda c/AMBOS extremos en $z = 0$

Extremos \leftrightarrow Quarks , Cuerda \leftrightarrow Campo Gluónico (+etc.)

Es decir, ¡'cuerda de QCD' vive en 5 (+5) dimensiones!



Potencial Quark-Antiquark



Quark-Antiquark = 1 Cuerda c/AMBOS extremos en $z = 0$

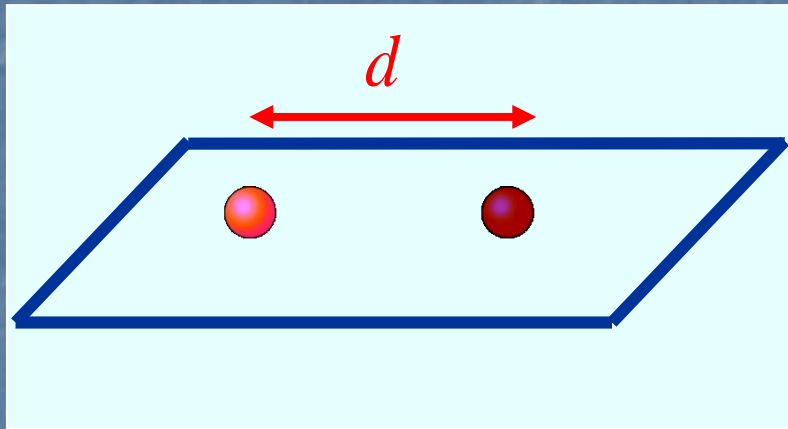
La energía de ligado (cuerda en forma de U – 2 cuerdas verticales) conduce al **potencial quark-antiquark**

$$V_{q\bar{q}}(d) = -\frac{4\pi^2 \sqrt{g_{YM}^2 N_c}}{\Gamma(\frac{1}{4})^4 d}$$

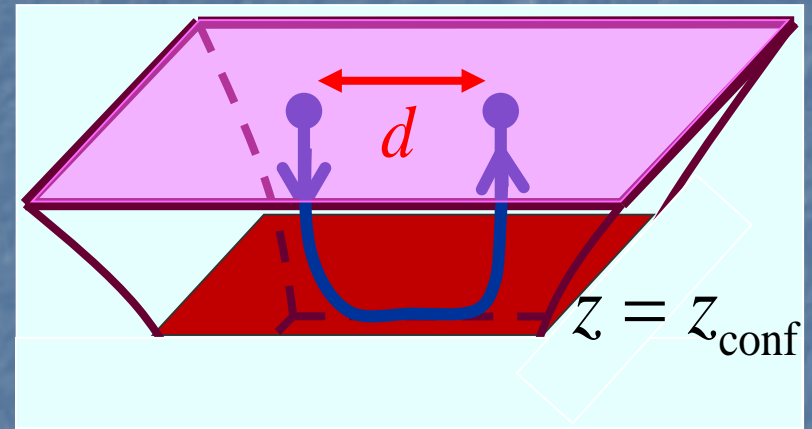
[Rey, Yee; Maldacena]



Potencial Quark-Antiquark



=



Quark-Antiquark = 1 Cuerda c/AMBOS extremos en $z = 0$

$$V_{q\bar{q}}^{T=0}(d) \propto d \quad [\text{Witten; Sonnenschein et al.; ...}]$$



En teorías con **confinamiento**, la geometría es distinta en el IR, y la cuerda NO logra descender arbitrariamente lejos de la frontera, dando lugar entonces al comportamiento lineal esperado

Diccionario AdS/CFT

SYM $\mathcal{N}=4$ $SU(N_c)$ \equiv Cuerdas IIB en espaciotiempo en 3+1 dim [Maldacena] **asintóticamente $AdS_5 \times S^5$**

La geometría del lado derecho es **dinámica**:

El espaciotiempo AdS_5 puro corresponde al **vacío** de SYM

Excitaciones sobre AdS_5 corresponden a otros estados

Hasta ahora hemos considerado *pequeñas* excitaciones

Pero también es posible mostrar que SYM hace contacto con **excitaciones grandes de la geometría** (y/u otros campos del fondo)

Diccionario AdS/CFT

SYM $\mathcal{N}=4$ $SU(N_c)$ \equiv Cuerdas IIB en espaciotiempo en 3+1 dim [Maldacena] **asintóticamente $AdS_5 \times S^5$**

La geometría del lado derecho es **dinámica**:

El espaciotiempo AdS_5 puro corresponde al **vacío** de SYM

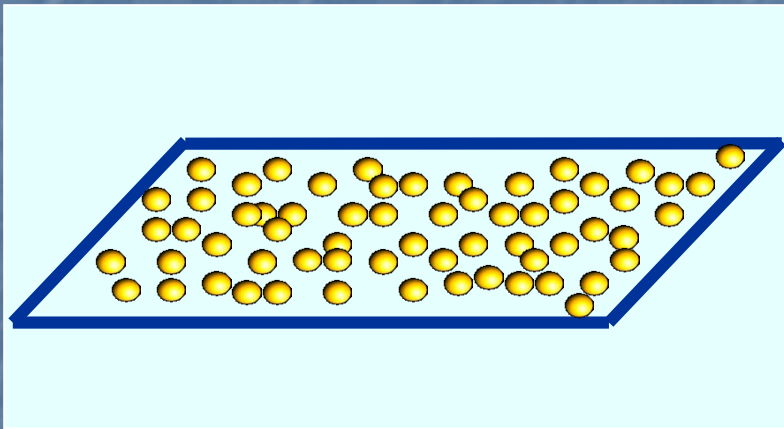
Excitaciones sobre AdS_5 corresponden a otros estados

P.ej., **agujero negro** en AdS_5 corresponde a ensamble con temperatura finita

$$ds_{\text{SchwAdS}}^2 = \left(\frac{L}{z}\right)^2 \left[\left(-\left(1 - \frac{z^4}{z_h^4}\right) dt^2 + d\vec{x}^2 \right) + \frac{dz^2}{\left(1 - \frac{z^4}{z_h^4}\right)} \right]$$

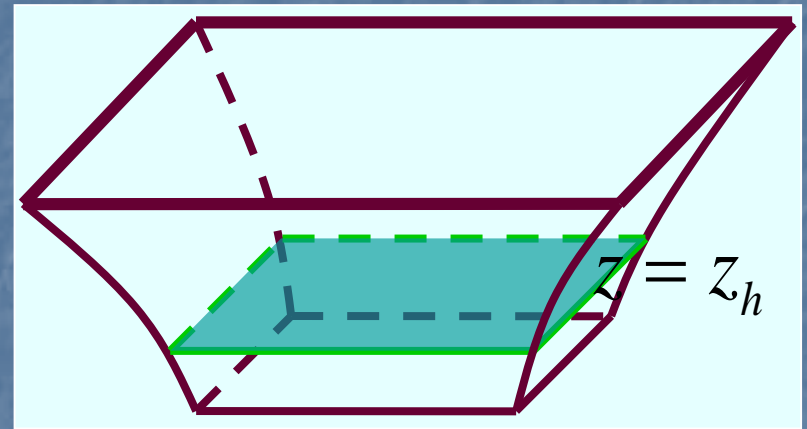
Diccionario AdS/CFT

$SYM \mathcal{N} = 4 \ SU(N_c)$ a T finita \equiv [Maldacena] Cuerdas IIB en espaciotiempo $SchwAdS_5(L, z_h) \times S^5(L)$



Plasma de gluones (+
escalares & fermiones)

$=$



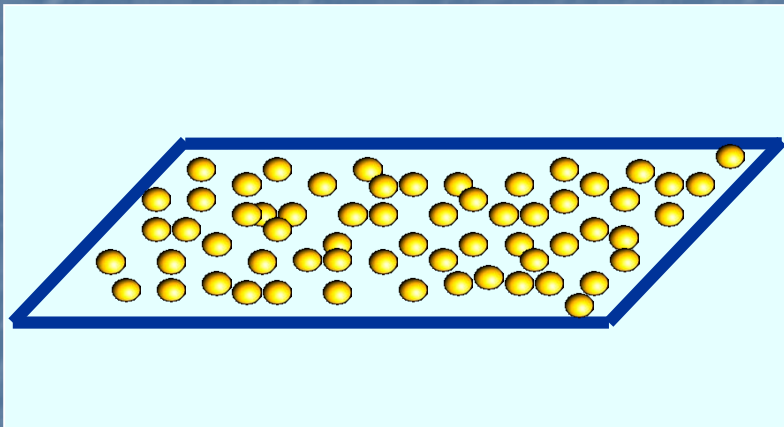
$=$

Agujero (brana) negro(a)
en AdS

$$T = \frac{r_h}{\pi L^2} = \frac{1}{\pi z_h} = T_H \quad \text{[Witten]}$$

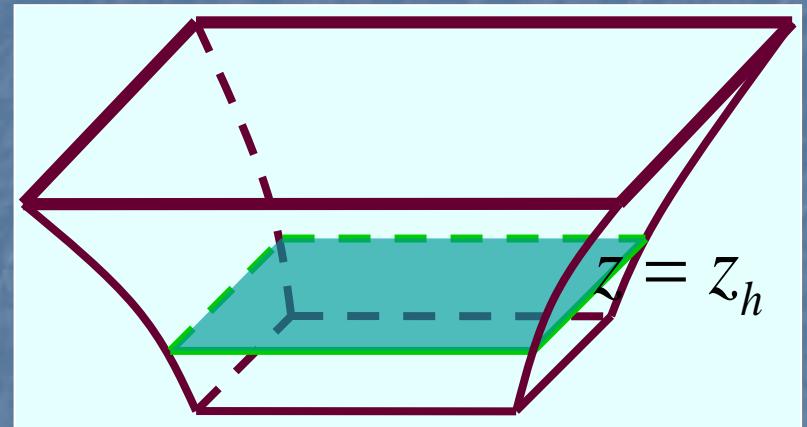
Diccionario AdS/CFT

$SYM \mathcal{N} = 4 \ SU(N_c)$ a T finita \equiv [Maldacena] Cuerdas IIB en espaciotiempo $SchwAdS_5(L, z_h) \times S^5(L)$



Plasma de gluones (+
escalares & fermiones)

\equiv



\equiv

Agujero (brana) negro(a)
en AdS

Este plasma nos sirve como **modelo de juguete** para el **plasma de quarks y gluones** (QGP) que se obtiene más allá de la temperatura de desconfinamiento de QCD

La temperatura necesaria es de **billones de grados**
(cien mil veces más caliente que el núcleo del Sol)

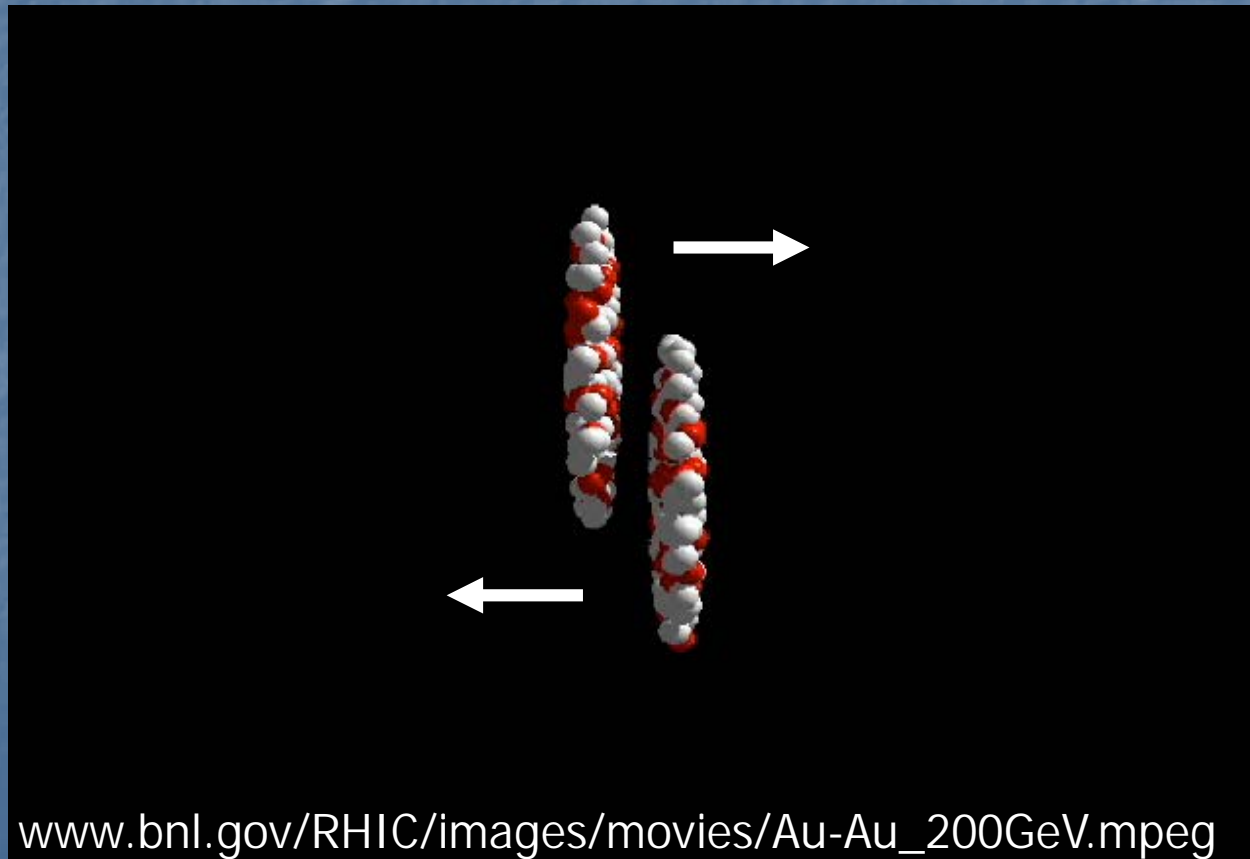


Increíblemente, se ha logrado alcanzar en el acelerador de partículas estadounidense **RHIC** y en el europeo **LHC**



QGP en RHIC (y LHC)

Au+Au (400 nucleones)
100 GeV/nucleón



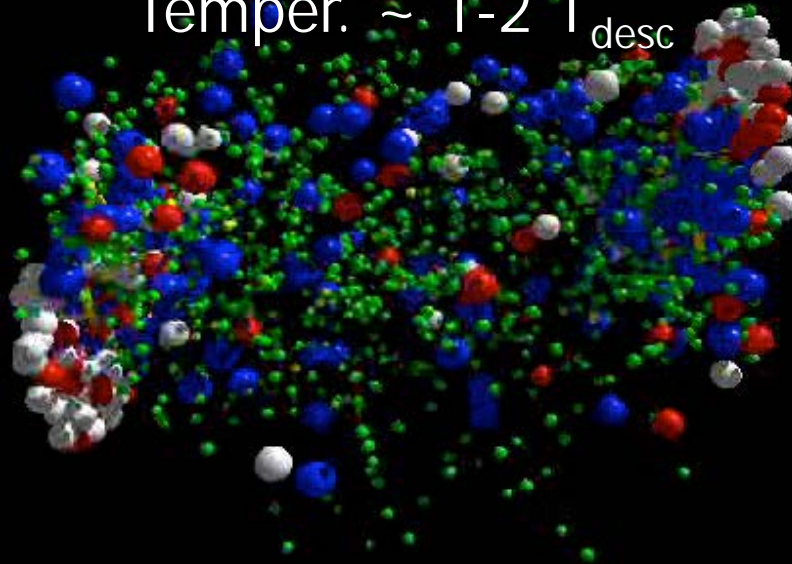
QGP en RHIC (y LHC)

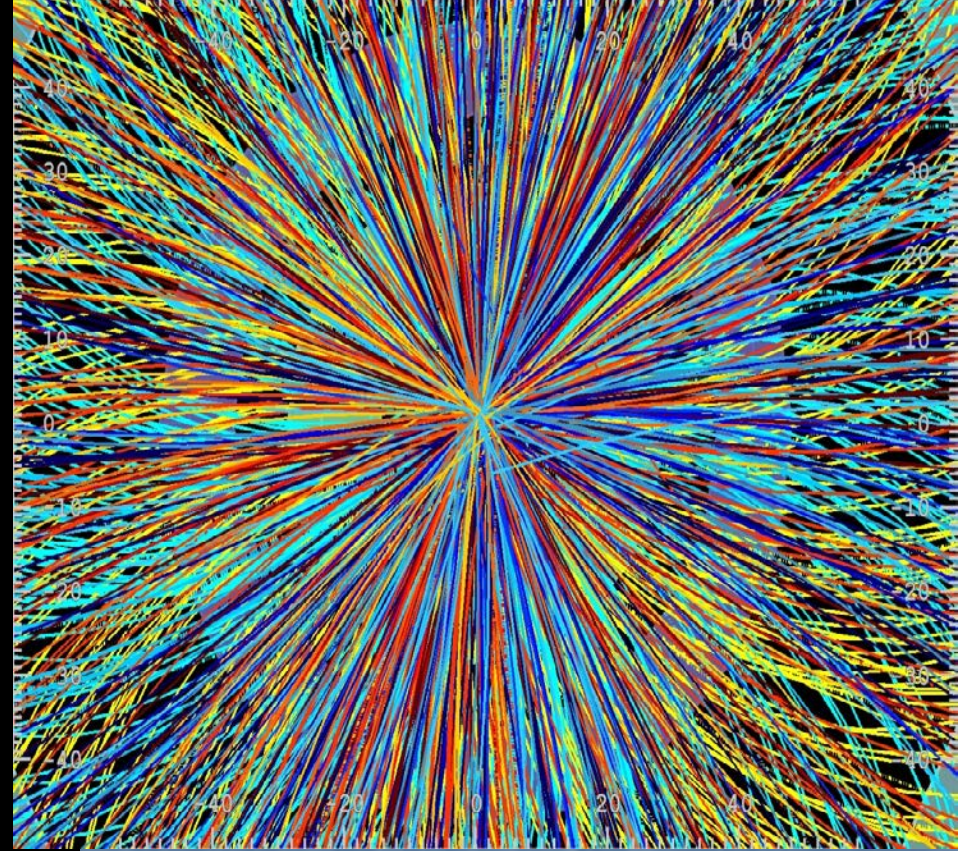
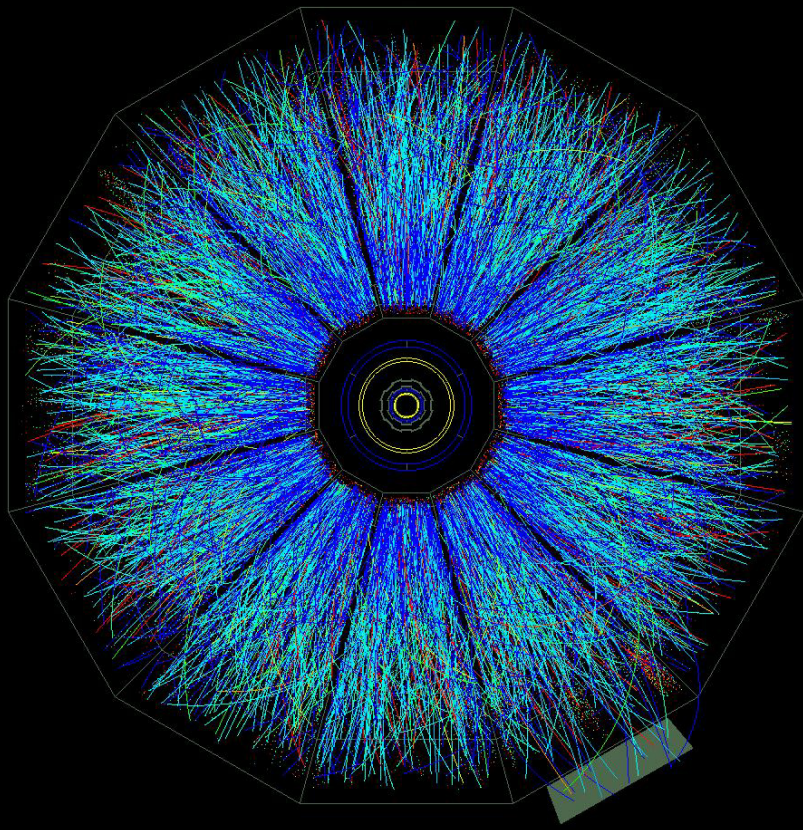
Au+Au (400 nucleones) \rightarrow QGP \rightarrow ~ 5000 hadrones+etc.
100 GeV/nucleón \rightarrow ~ 2 GeV/hadrón

Tamaño $\sim 10^{-14}$ m

Duración $\sim 10^{-22}$ s

Temper. $\sim 1-2 T_{desc}$





Plasma fuertemente acoplado

$$g_{YM}^2 \approx 3-10$$

$$g_{YM}^2 / 4\pi \approx 0.3-1$$

$$g_{YM}^2 N_c \approx 10-30$$

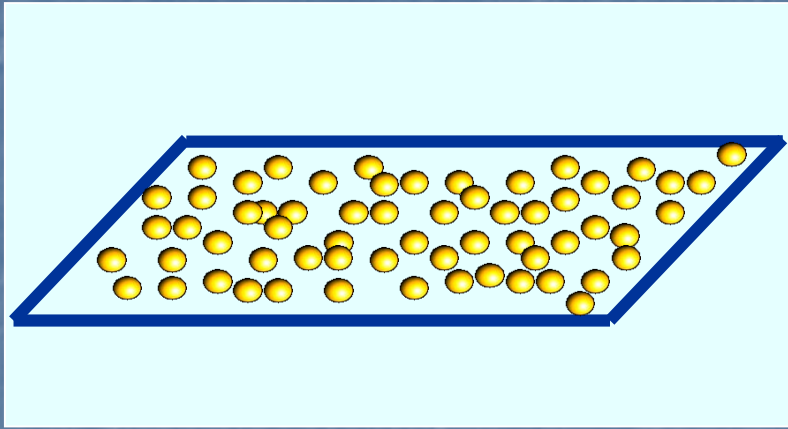
$$N_c = 3$$

Plasmas en
AdS/CFT:

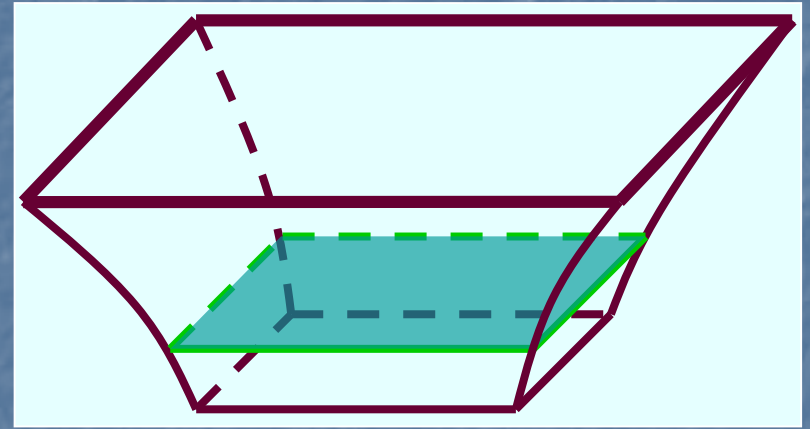
$$g_{YM}^2 N_c \gg 1$$

$$N_c \gg 1$$

Aplicación: Entropía de Plasma



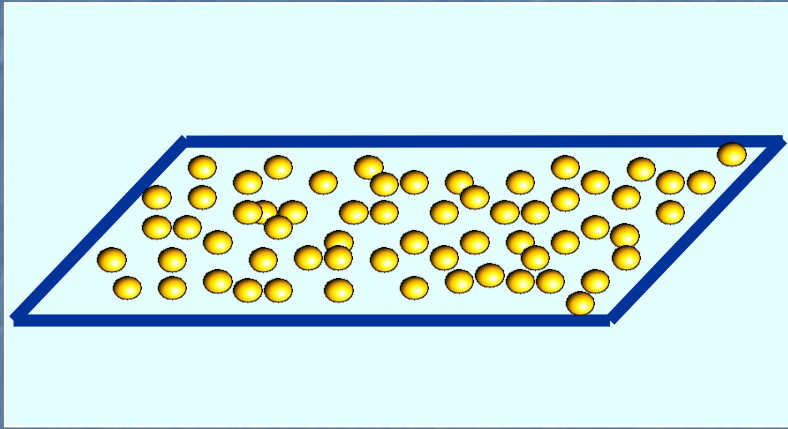
=



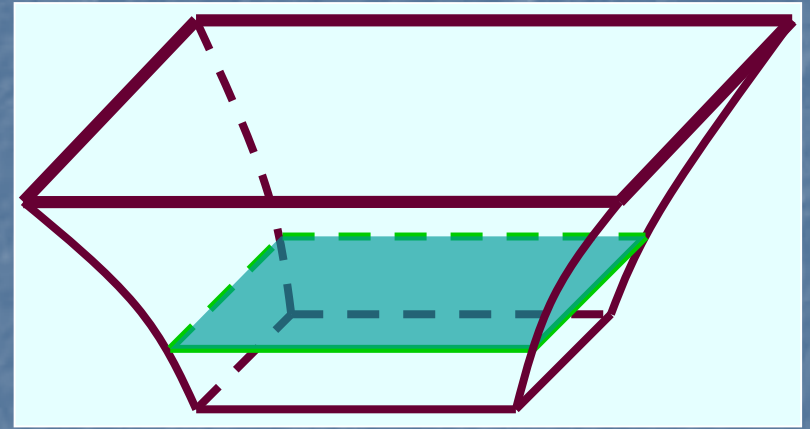
$$S_{\text{plasma}} = S_{\text{BH}} = \frac{A_H}{4G_N} \leftarrow \text{área del horizonte}$$

[Bekenstein, Hawking]

Aplicación: Entropía de Plasma



=



$$g_{YM}^2 N_c \ll 1 \Rightarrow$$

$$S_{\text{plasma}} = \frac{2\pi^2}{3} N_c^2 T^3 V$$



Predicción

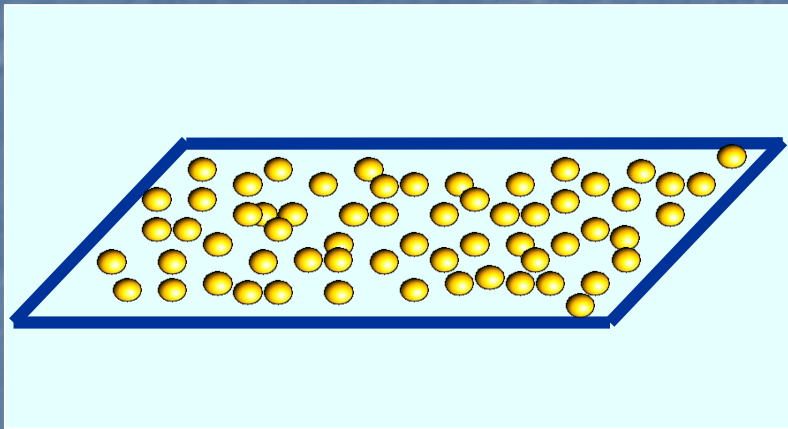
holográfica

$$g_{YM}^2 N_c \gg 1 \Rightarrow$$

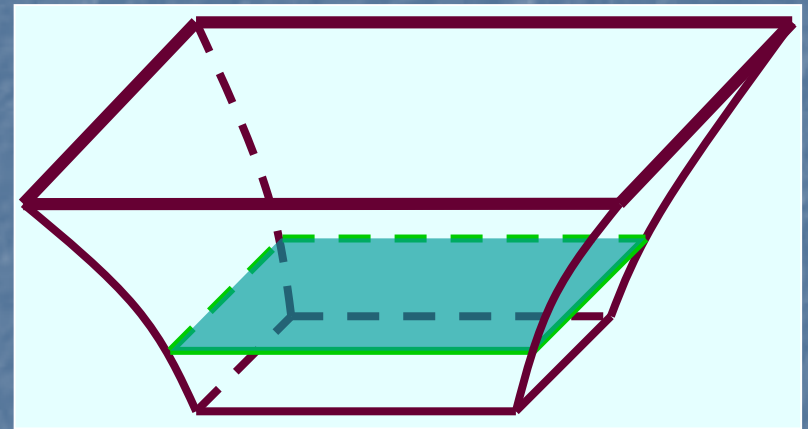
$$S_{\text{BH}} = \frac{2\pi^2}{3} N_c^2 T^3 V \left(\frac{3}{4} \right)$$

[Gubser, Klebanov, Peet]

Aplicación: Entropía de Plasma



=



$$g_{YM}^2 N_c \ll 1 \Rightarrow$$

$$S_{\text{plasma}} = \frac{2\pi^2}{3} N_c^2 T^3 V \left(1 - \frac{3g_{YM}^2 N_c}{4\pi^2} + \dots \right)$$

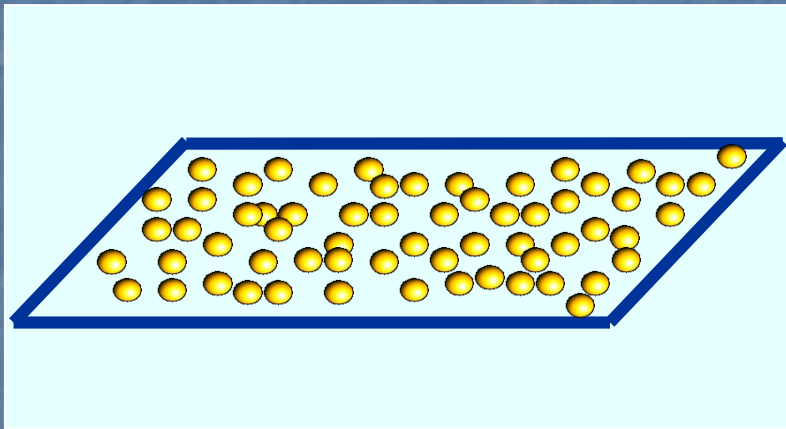
[Gubser, Klebanov, Peet;
Fotopoulos, Taylor]

$$g_{YM}^2 N_c \gg 1 \Rightarrow$$

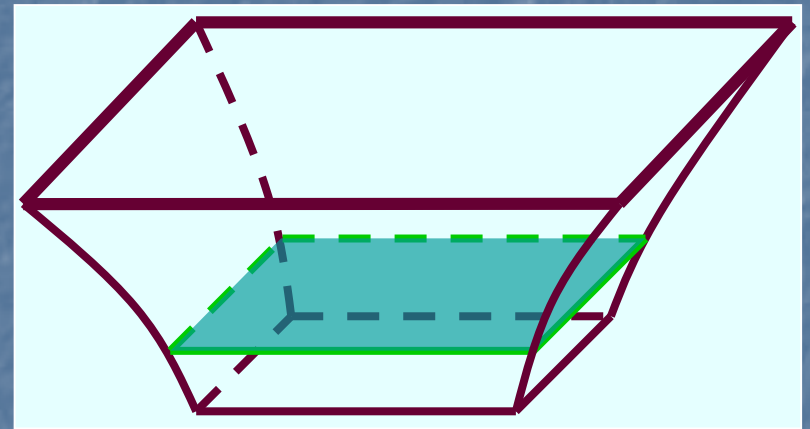
$$S_{\text{BH}} = \frac{2\pi^2}{3} N_c^2 T^3 V \left(\frac{3}{4} + \frac{45\zeta(3)}{64\sqrt{2} (g_{YM}^2 N_c)^{3/2}} + \dots \right)$$

[Gubser, Klebanov, Peet;
Gubser, Klebanov, Tseytlin]

Aplicación: Entropía de Plasma



=



$$g_{YM}^2 N_c \ll 1 \Rightarrow$$

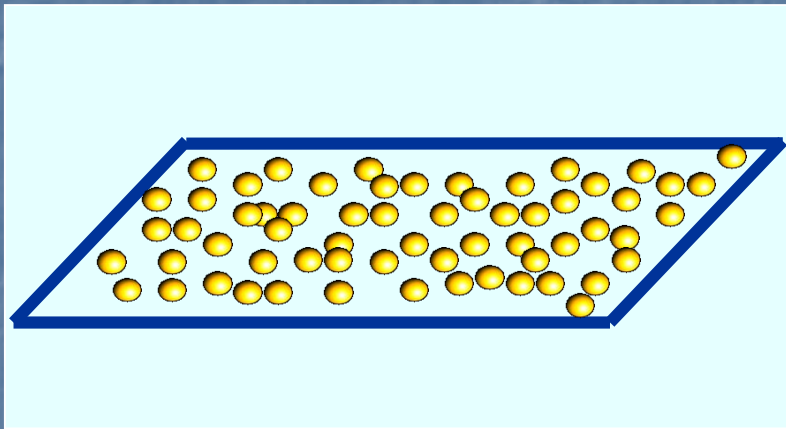
$$S_{\text{plasma}} = \frac{2\pi^2}{3} N_c^2 T^3 V \left(1 - \frac{3g_{YM}^2 N_c}{4\pi^2} + \dots \right)$$

$$g_{YM}^2 N_c \gg 1 \Rightarrow$$

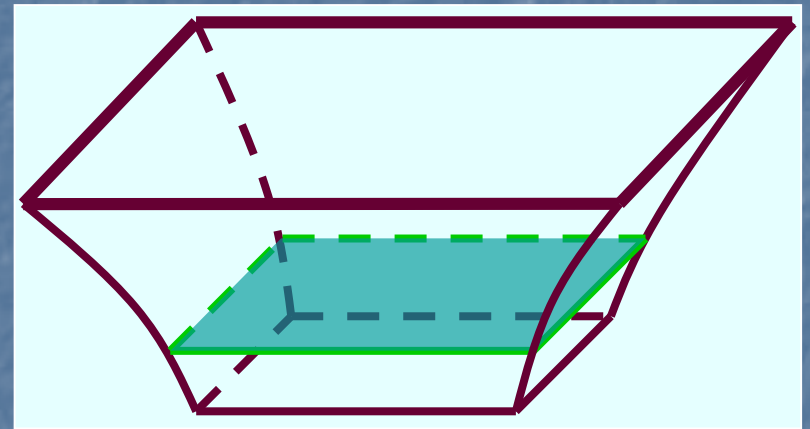
$$S_{\text{BH}} = \frac{2\pi^2}{3} N_c^2 T^3 V \left(\frac{3}{4} + \frac{45\zeta(3)}{64\sqrt{2} (g_{YM}^2 N_c)^{3/2}} + \dots \right)$$

Este es un resultado de **primeros principios** en SYM $\mathcal{N} = 4$
fuertemente acoplada (interesante en sí mismo)...

Aplicación: Entropía de Plasma



=



$$g_{YM}^2 N_c \ll 1 \Rightarrow$$

$$S_{\text{plasma}} = \frac{2\pi^2}{3} N_c^2 T^3 V \left(1 - \frac{3g_{YM}^2 N_c}{4\pi^2} + \dots \right)$$

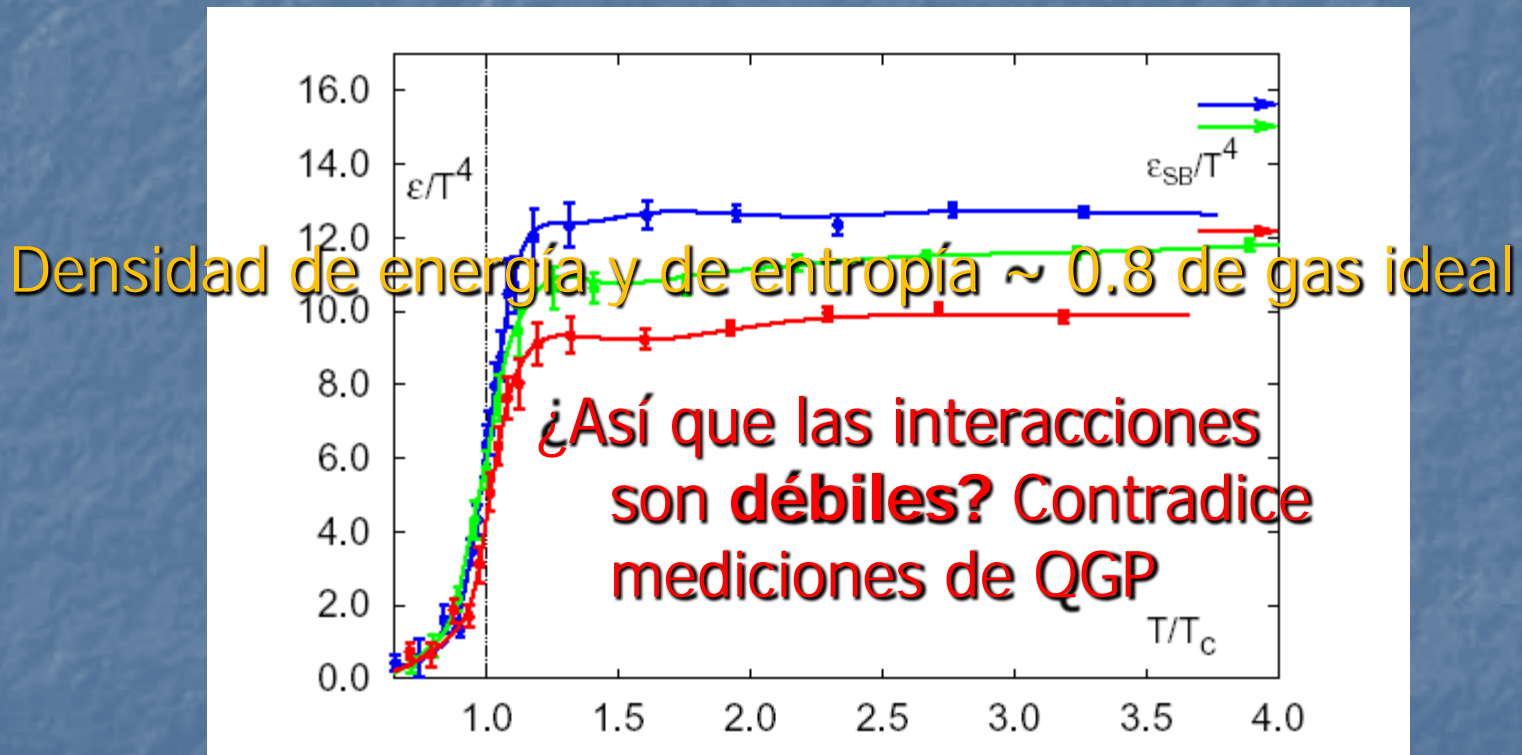
$$g_{YM}^2 N_c \gg 1 \Rightarrow$$

$$S_{\text{BH}} = \frac{2\pi^2}{3} N_c^2 T^3 V \left(\frac{3}{4} + \frac{45\zeta(3)}{64\sqrt{2} (g_{YM}^2 N_c)^{3/2}} + \dots \right)$$

... que además puede pensarse como un modelo de juguete para la entropía en QGP (disponible con QCD en retícula)

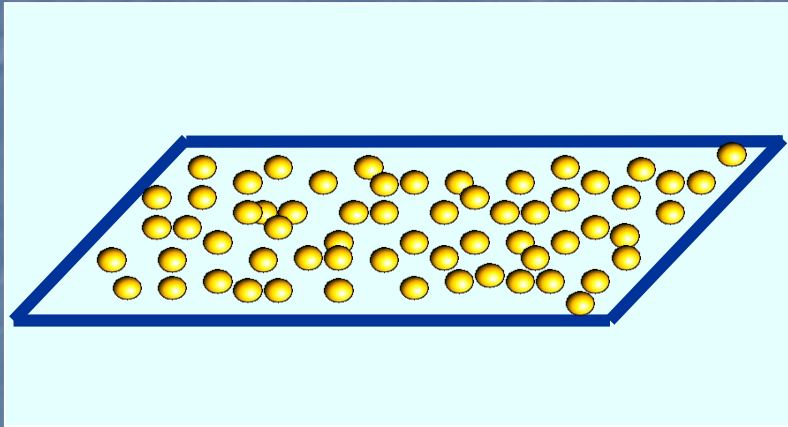
QGP con QCD en la Retícula

Cálculos numéricos dan desconfinamiento a $T_c \approx 190\text{MeV}$

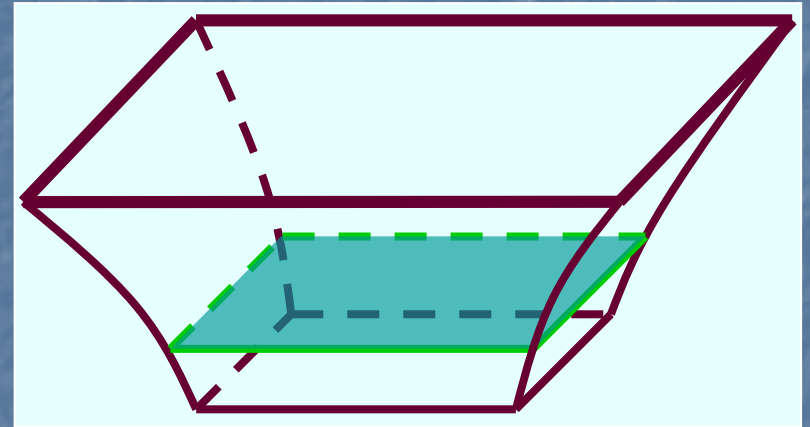


De: F. Karsch, hep-lat/0106019

Aplicación: Entropía de Plasma



=



$$g_{YM}^2 N_c \ll 1 \Rightarrow$$

$$S_{\text{plasma}} = \frac{2\pi^2}{3} N_c^2 T^3 V \left(1 - \frac{3g_{YM}^2 N_c}{4\pi^2} + \dots \right)$$

$$g_{YM}^2 N_c \gg 1 \Rightarrow$$

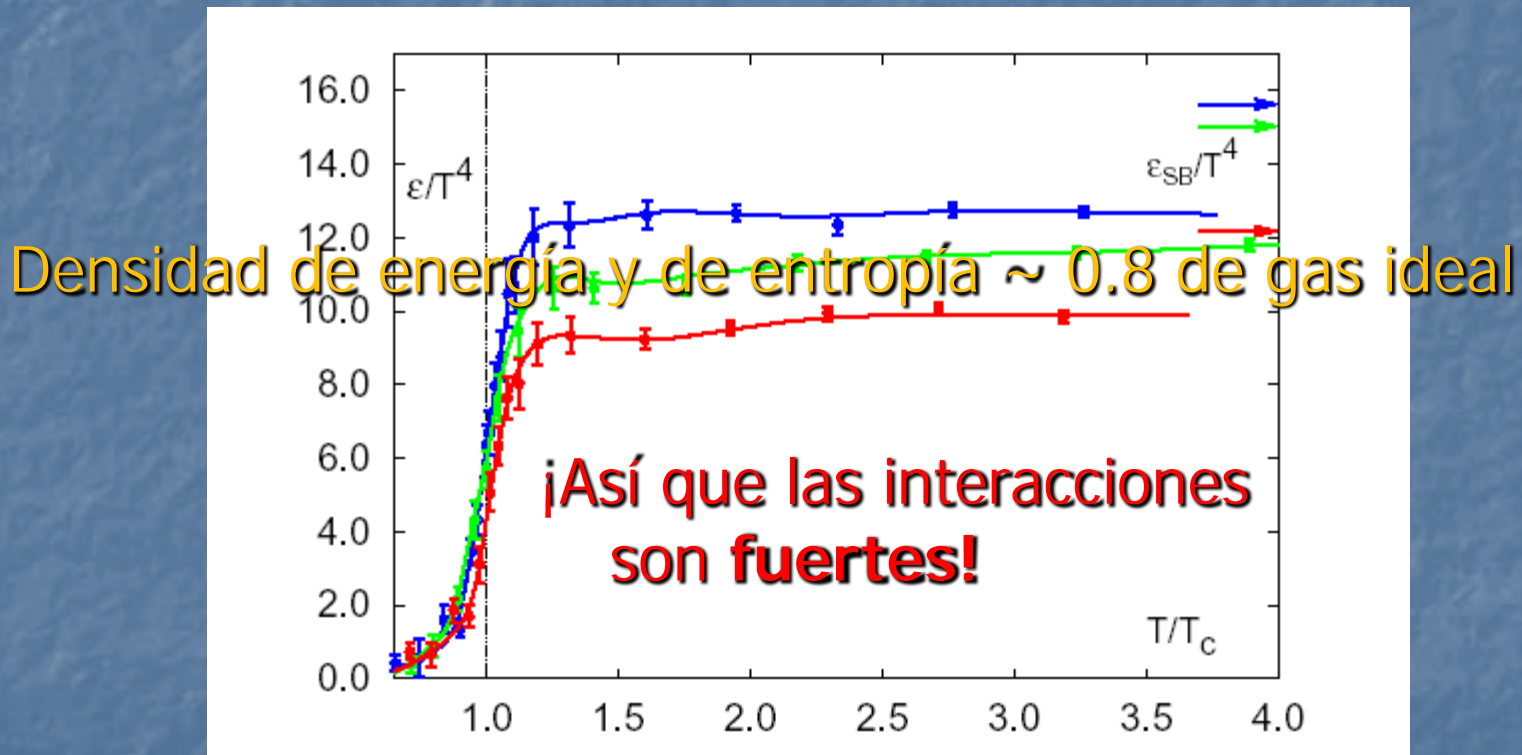
$$S_{\text{BH}} = \frac{2\pi^2}{3} N_c^2 T^3 V \left(\frac{3}{4} + \frac{45\zeta(3)}{64\sqrt{2} (g_{YM}^2 N_c)^{3/2}} + \dots \right)$$

[Gubser, Klebanov, Peet]

$$\frac{S(g_{YM}^2 N_c = \infty)}{S(g_{YM}^2 N_c = 0)} = 0.75 \quad \text{¡cercano a } \sim 0.8 \text{ de QCD en la red!}$$

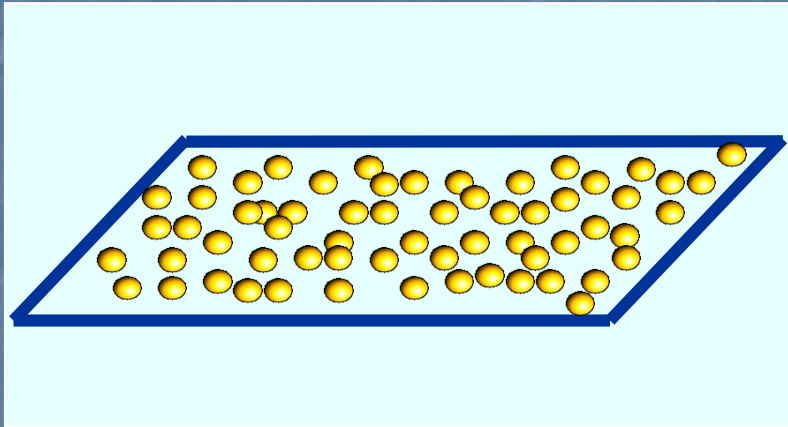
QGP con QCD en la Retícula

Cálculos numéricos dan desconfinamiento a $T_c \approx 190\text{MeV}$

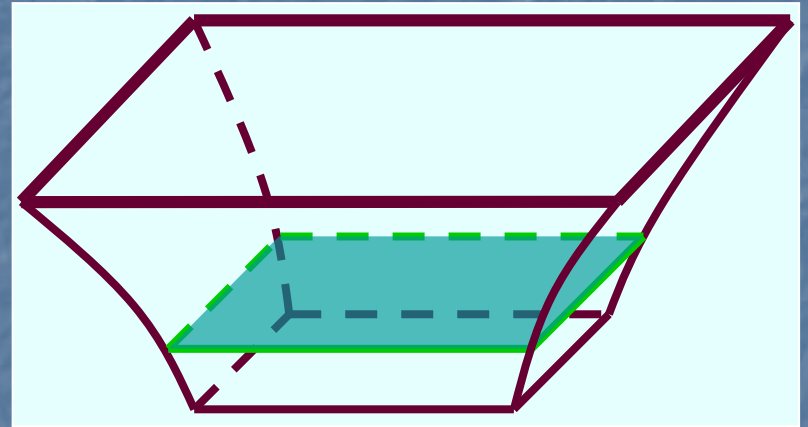


De: F. Karsch, hep-lat/0106019

Aplicación: Viscosidad ('de corte')



=



$$\eta = \lim_{\omega \rightarrow 0} \frac{1}{2\omega} \int d^4x e^{i\omega t} \langle [T_{xy}(x), T_{xy}(0)] \rangle = \lim_{\omega \rightarrow 0} \frac{1}{16\pi G_N} \sigma_{h_{\mu\nu}}(\omega)$$

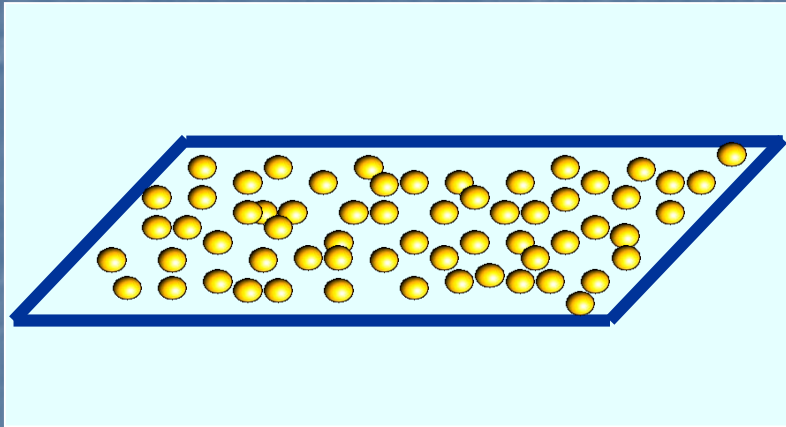
[Kubo]

[Callan; Gubser, Klebanov, Polyakov; Witten]

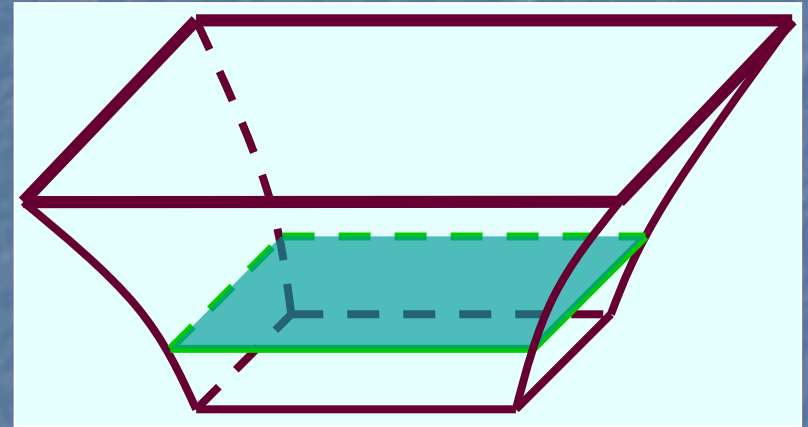
Correlador de 2 puntos
del tensor de
energía-momento

Sección eficaz de absorción
de gravitones

Aplicación: Viscosidad ('de corte')



=



$$g_{YM}^2 N \ll 1 \Rightarrow$$

$$\frac{\eta}{s} \sim \frac{\hbar/k_B}{(g_{YM}^2 N)^2 \log(1/g_{YM}^2 N)} \gg \frac{\hbar}{k_B}$$

[Arnold, Moore, Yaffe]

$$g_{YM}^2 N \gg 1 \Rightarrow$$

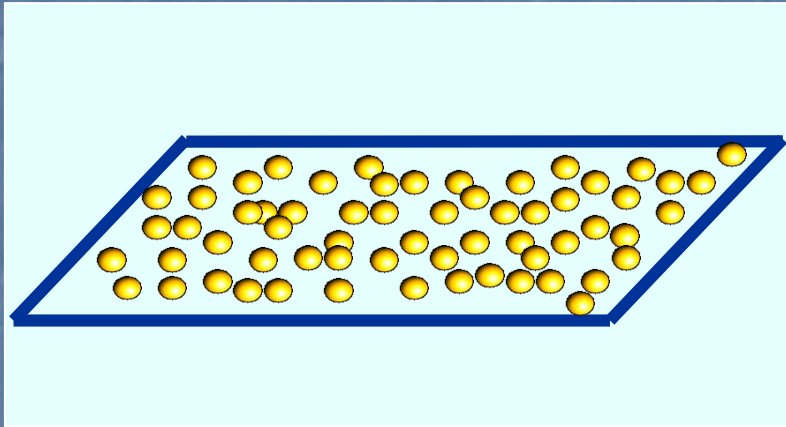
$$\frac{\eta}{s} = \frac{\hbar}{k_B} \left(\frac{1}{4\pi} + \frac{135\zeta(3)}{64\sqrt{2}\pi(g_{YM}^2 N)^{3/2}} + \dots \right) \ll \frac{\hbar}{k_B}$$

[Policastro, Son, Starinets; Buchel, Liu, Starinets]

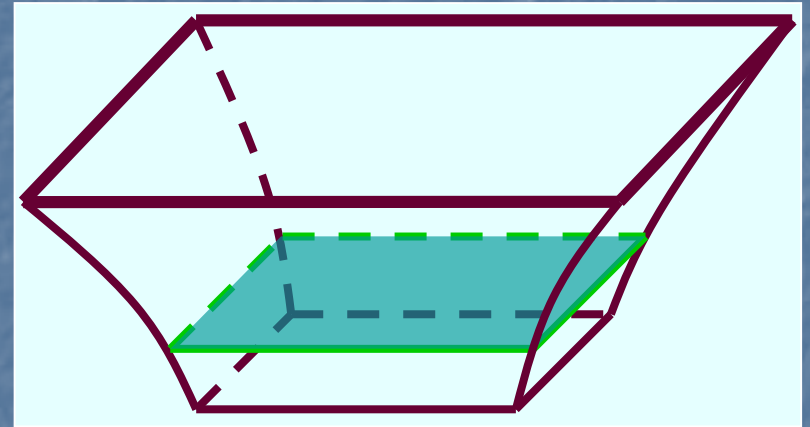
NO accesible con QCD en retícula

¿Comparar con experimento?

Aplicación: Viscosidad ('de corte')



=



$$g_{YM}^2 N \ll 1 \Rightarrow$$

$$\frac{\eta}{s} \sim \frac{\hbar/k_B}{(g_{YM}^2 N)^2 \log(1/g_{YM}^2 N)} \gg \frac{\hbar}{k_B}$$

[Arnold, Moore, Yaffe]

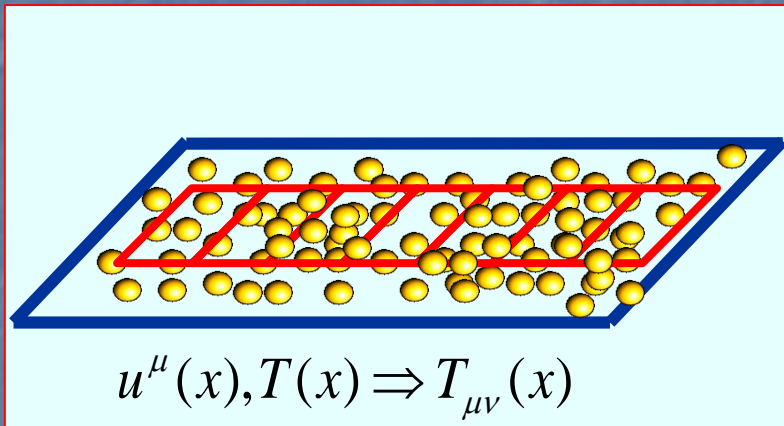
$$g_{YM}^2 N \gg 1 \Rightarrow$$

$$\frac{\eta}{s} = \frac{\hbar}{k_B} \left(\frac{1}{4\pi} + \frac{135\zeta(3)}{64\sqrt{2}\pi(g_{YM}^2 N)^{3/2}} + \dots \right) \ll \frac{\hbar}{k_B}$$

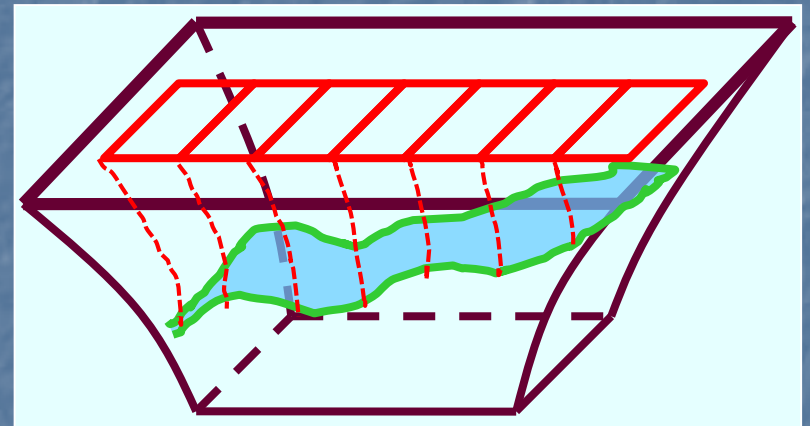
[Policastro, Son, Starinets; Buchel, Liu, Starinets]

Universal: igual en todos los ejemplos holográficos ~ 0.08
 ¡¡Y cercano a valor $\sim 0.1-0.2$ estimado en RHIC y LHC!!

Correspondencia Fluidos/Gravedad



=



Descripción hidrodinámica

$$\partial_\mu T^{\mu\nu} = 0$$

$(\mu, \nu = 0, \dots, 3)$



Agujero negro no uniforme

$$R_{mn} - \frac{1}{2} R g_{mn} = -\Lambda g_{mn}$$

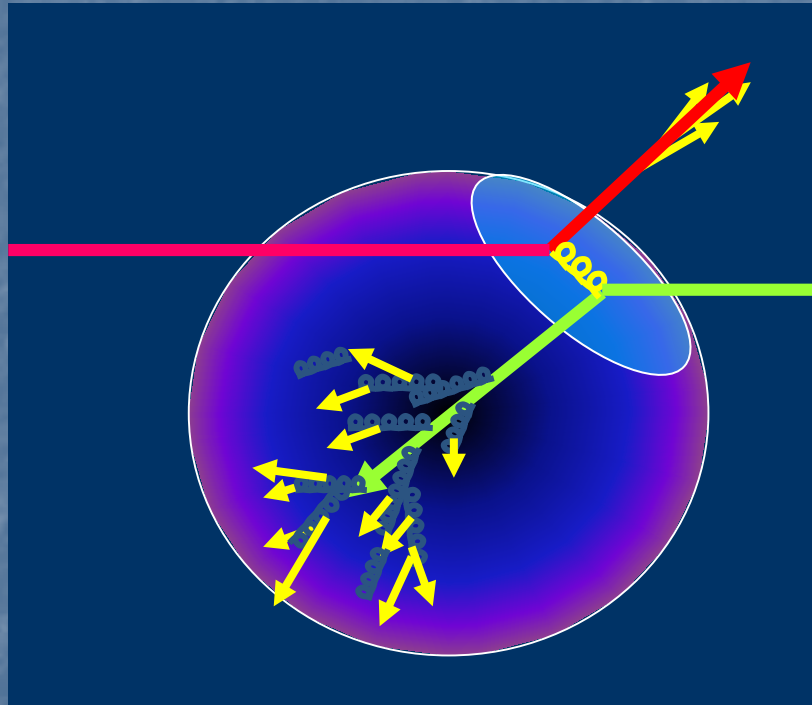
$(m, n = 0, \dots, 3, r)$

[Bhattacharyya, Hubeny, Minwalla, Rangamani]

¡¡Navier-Stokes=Einstein!!

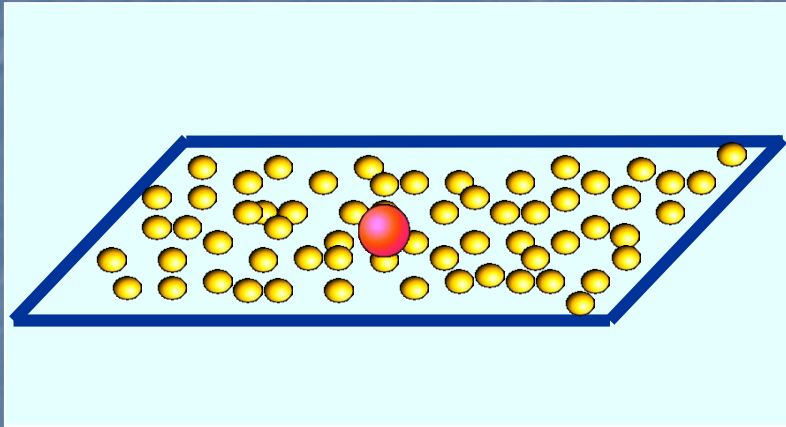
Aplicación: Pérdida de Energía

En RHIC/LHC se observa **pérdida significativa de energía** de quarks que atraviesan el medio ("supresión de jets")



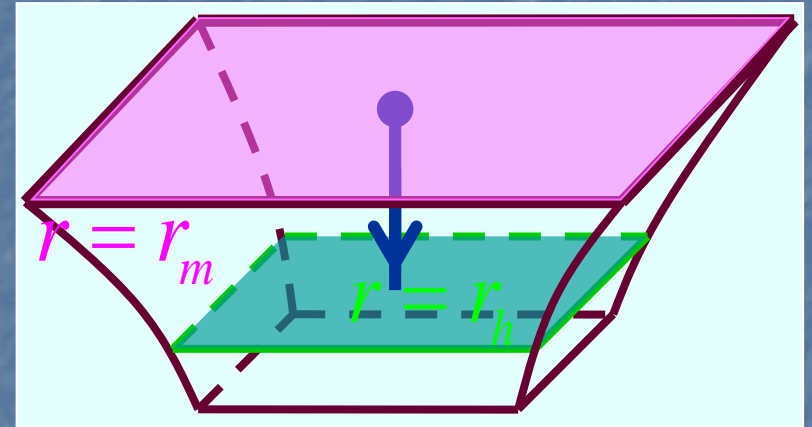
¿Cuánta energía pierde el quark?
¿A dónde se va esta energía?

Aplicación: Pérdida de Energía



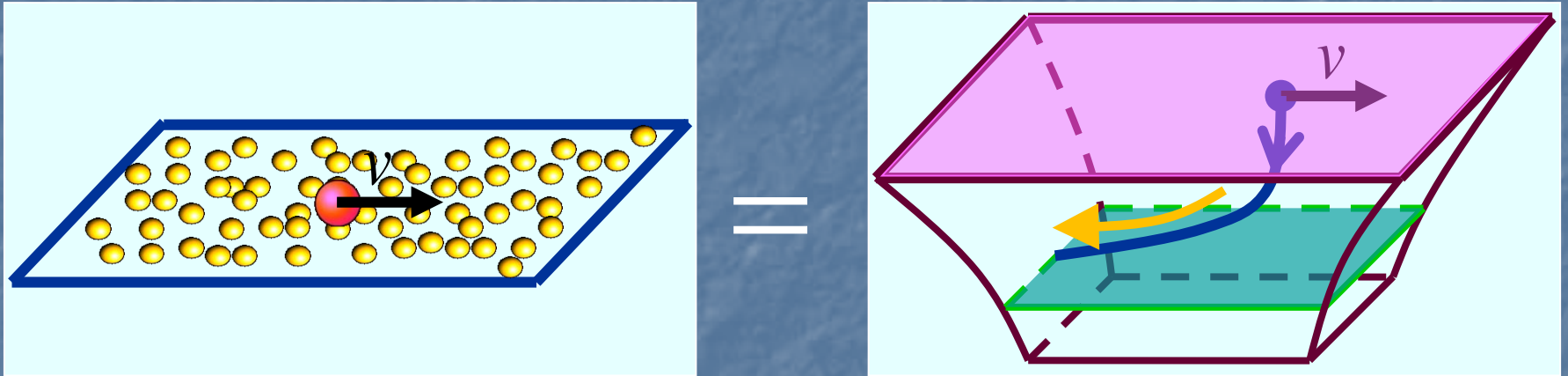
Quark pesado en plasma
de SYM ($m \gg T$)

=



= Cuerda vertical en Schw-AdS
desde $r = r_m$ a $r = r_h \ll r_m$

Aplicación: Pérdida de Energía

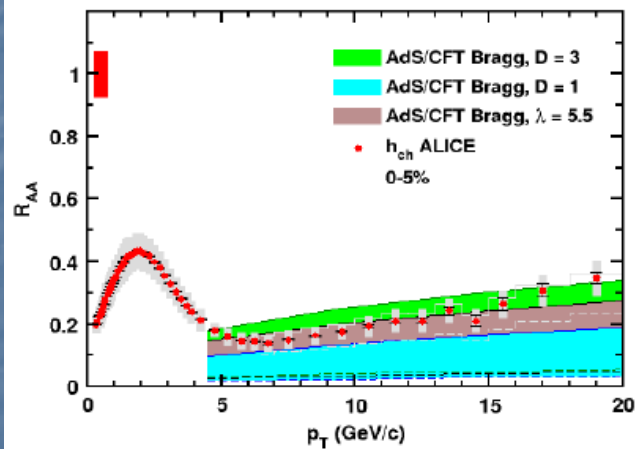


Para quark en movimiento, la cuerda cuelga detrás del extremo, y actúa como un sumidero de energía, i.e., el quark tiene una 'cola', ¡que es la responsable de **fuerza de arrastre** esperada!

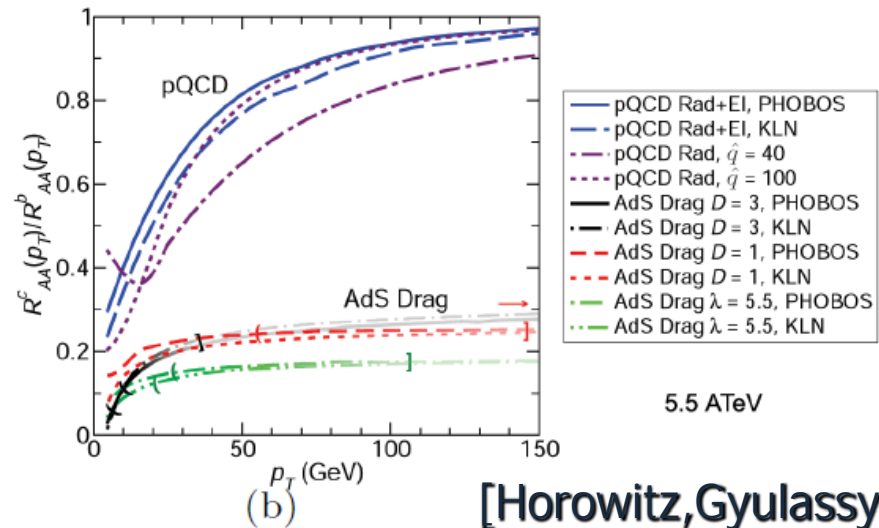
Tasa de Pérdida de Energía:
$$\frac{dE}{dx} = -\frac{\pi}{2} \sqrt{\lambda T^2} \frac{v}{\sqrt{1-v^2}} = \frac{dp_x}{dt}$$

[Herzog, Karch, Kovtun, Kozcaz, Yaffe; Gubser; Casalderrey-Solana, Teaney]

Los números otra vez dan resultados aproximadamente en el rango esperado y dan pie a **modelos fenomenológicos**, como p.ej.,

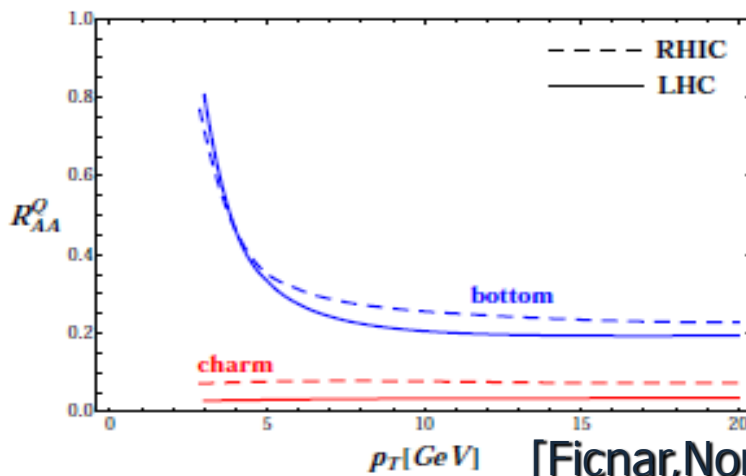


(a)

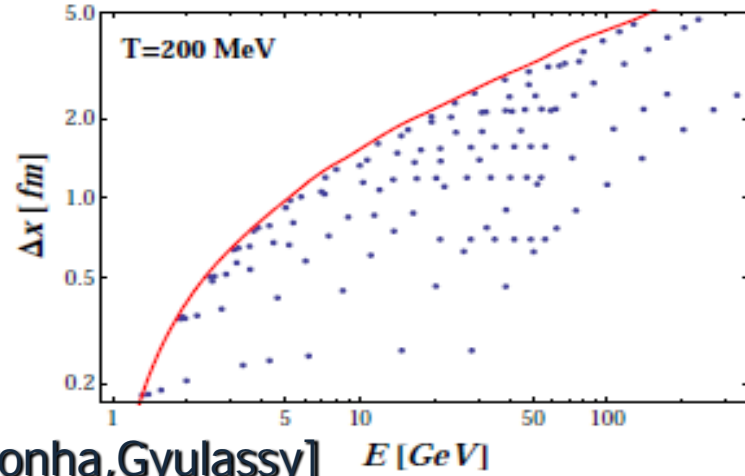


(b)

[Horowitz, Gyulassy]



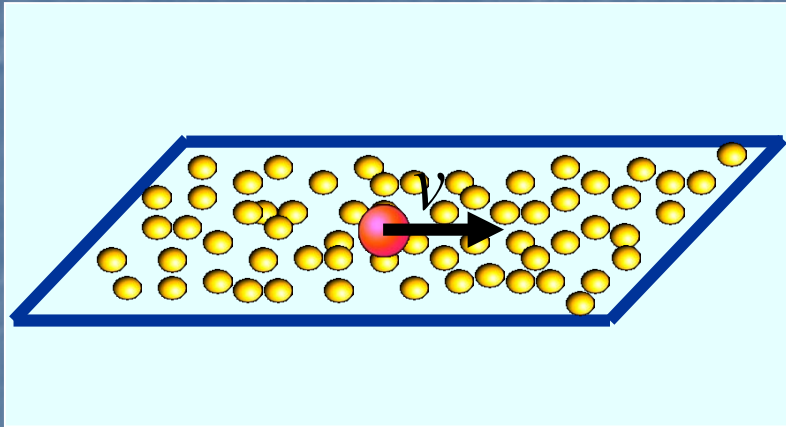
[Ficnar, Noronha, Gyulassy]



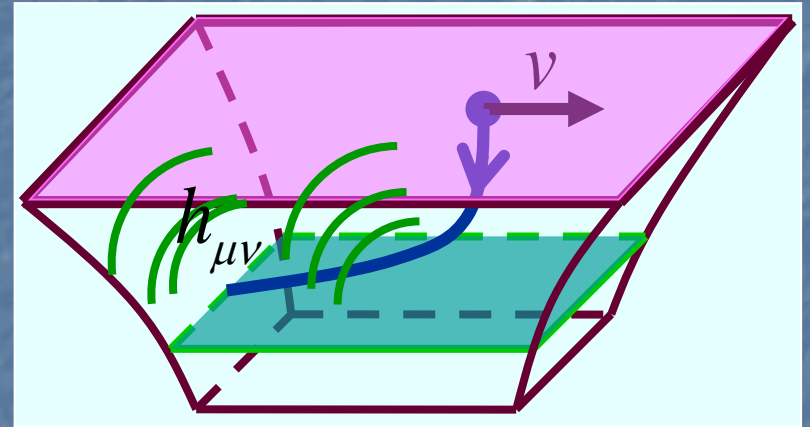
NOTA: las comparaciones de este tipo contra datos experimentales NO ponen a prueba a la correspondencia holográfica por sí sola, sino **en combinación con las suposiciones específicas del modelo fenomenológico**

La novedad importante es que gracias a la holografía ahora tenemos cierta **intuición para el régimen de acoplamiento fuerte**

Aplicación: Pérdida de Energía



=



Es posible determinar perfil de energía disipada a partir de

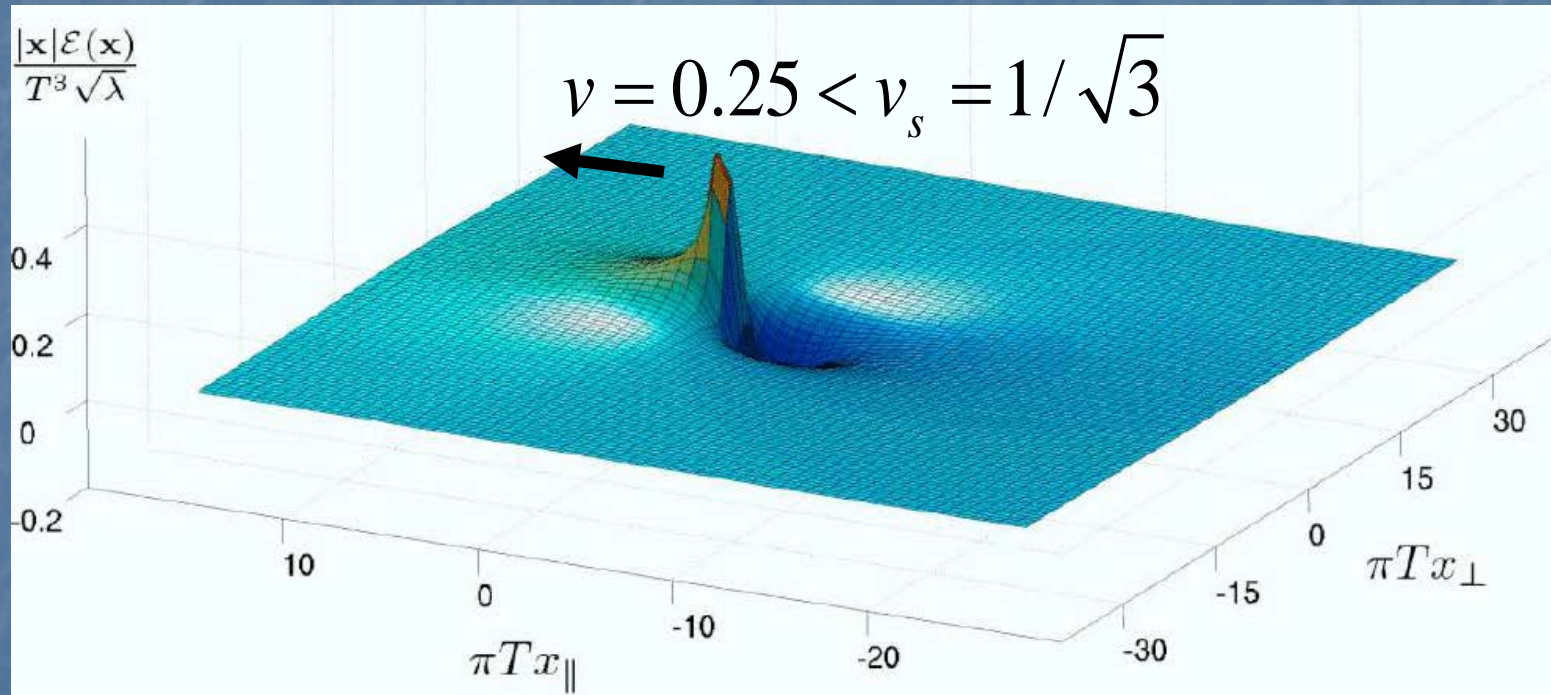
$$\left\langle T_{\mu\nu}(x) \right\rangle_{q,v} \leftrightarrow h_{\mu\nu}(x, r = \infty)$$

[Friess,Gubser,Michalogiorgakis;
Friess,Gubser,Michalogiorgakis,Pufu;
Yarom; Gubser,Pufu; Gubser,Pufu,Yarom;
Chesler,Yaffe; Noronha,Torrieri,Gyulassy;
Betz,Gyulassy,Noronha,Torrieri; etc.]

Aplicación: Pérdida de Energía

Densidad de energía en estela generada por quark

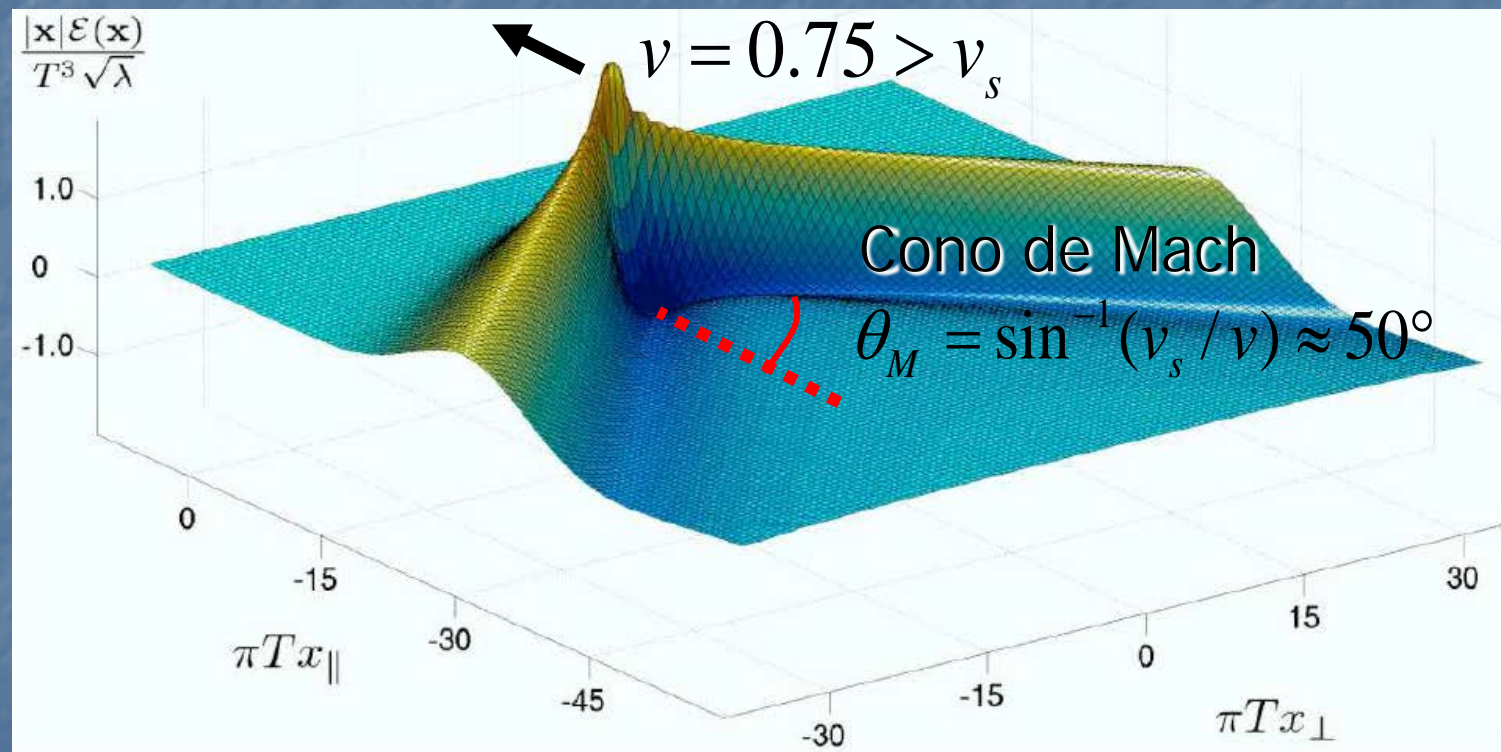
[Gubser,Pufu,Yarom; Chesler,Yaffe]



De: Chesler,Yaffe, arXiv:0706.0368

Aplicación: Pérdida de Energía

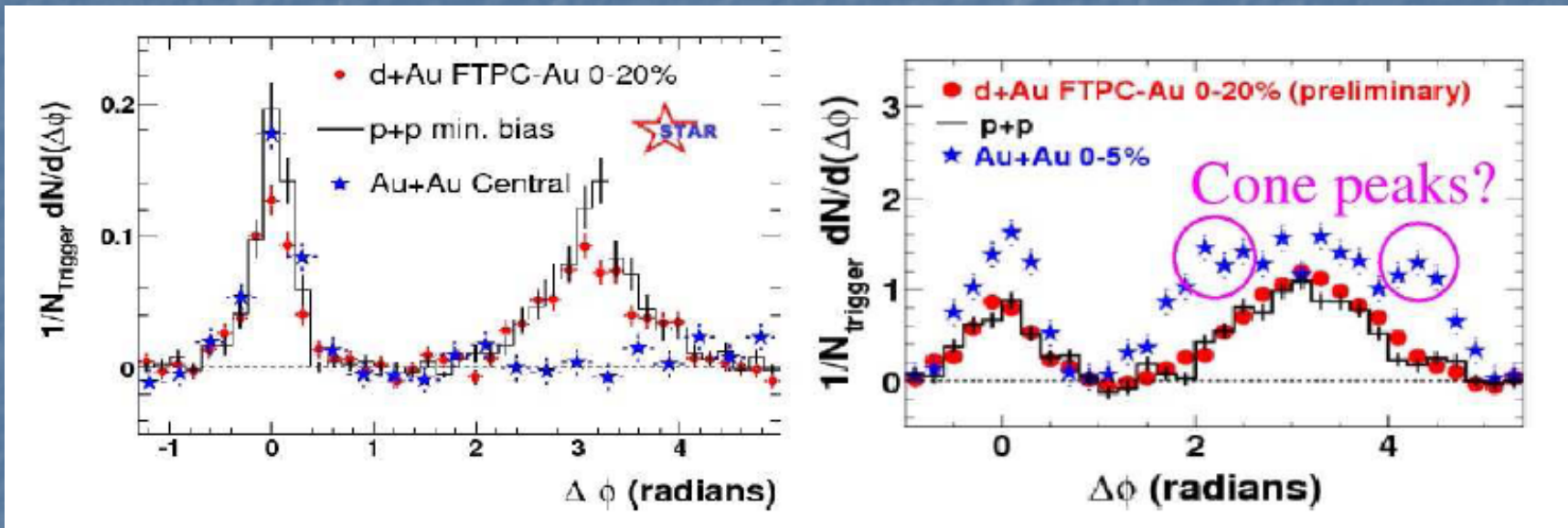
Densidad de energía en estela generada por quark



De: Chesler, Yaffe, arXiv:0706.0368

Aplicación: Pérdida de Energía

Esto también se ha aplicado a modelos fenomenológicos

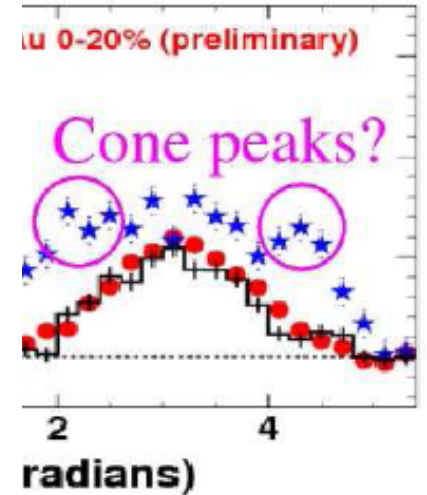
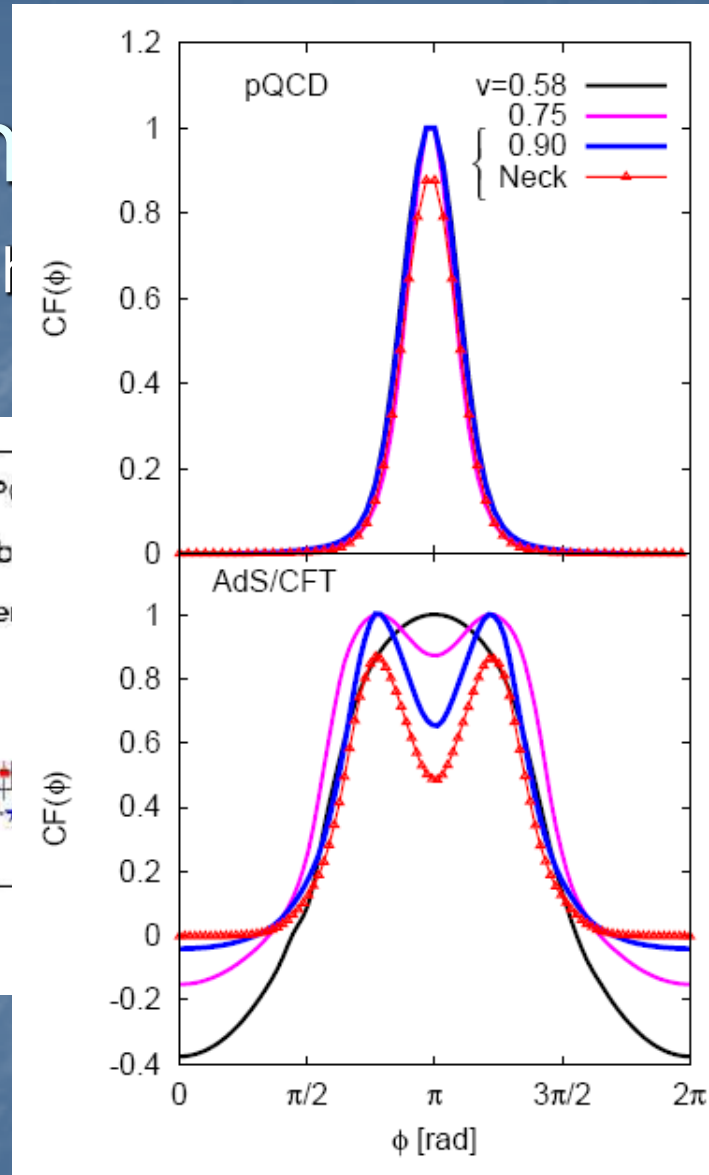
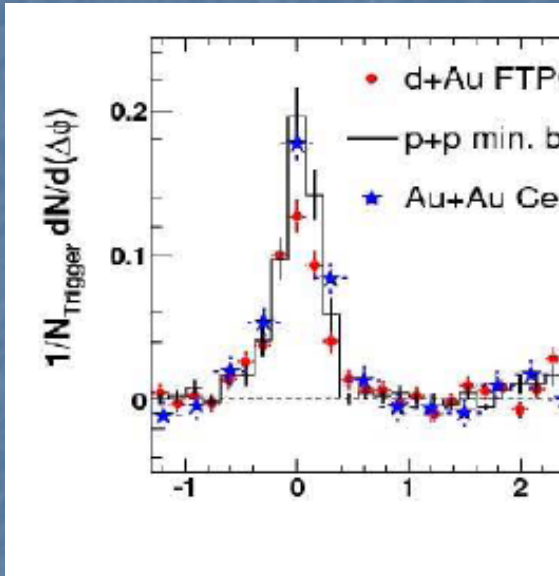


De: Betz, Gyulassy, Noronha, Torrieri arXiv:0807.4526

Aplicación

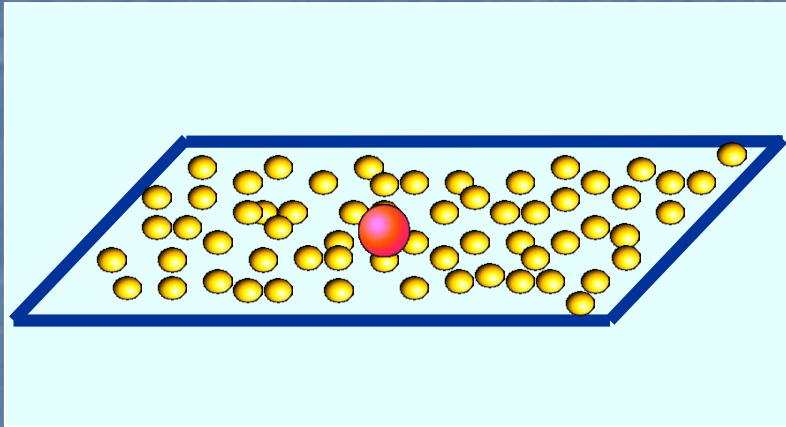
Esto también se

Energía femenológicos



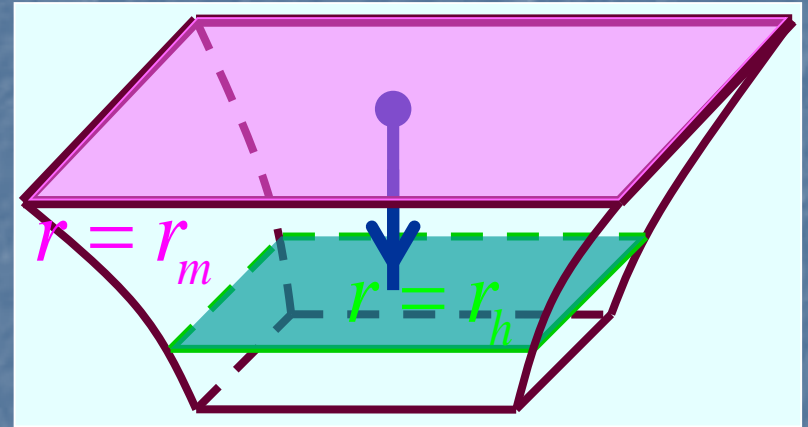
De: Betz, Gyulassy, Noronha, Torrieri arXiv:0807.4526

Aplicación: Movimiento Browniano



Quark en plasma de SYM
plasma ($m \gg T$)

=

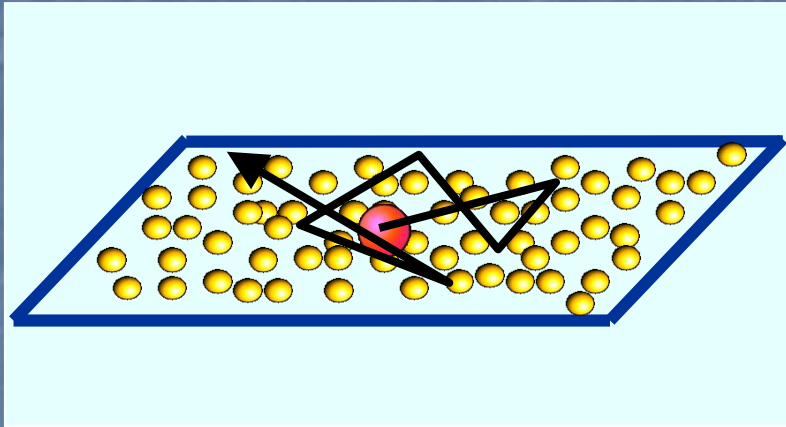


= Cuerda vertical en Schw-AdS
desde $r = r_m$ a $r = r_h \ll r_m$

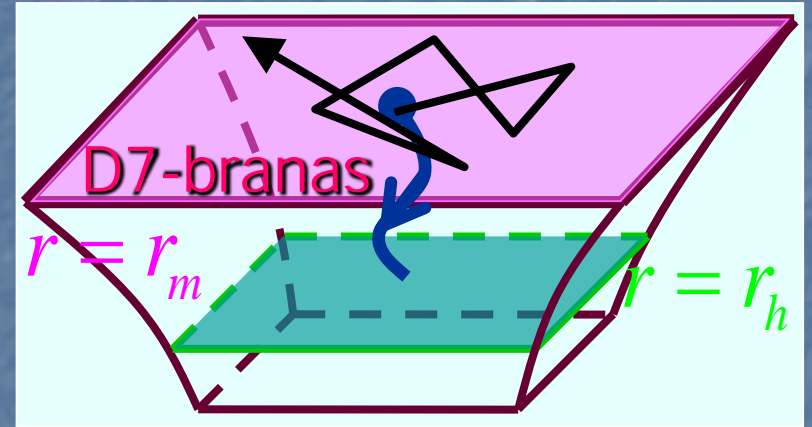
Esperamos que el quark
experimente movimiento
Browniano...

¿Pero quién hace fluctuar
al extremo de la cuerda?

Aplicación: Movimiento Browniano



=



¡La **radiación de Hawking** emitida por el agujero negro (sobre el cuerpo de la cuerda)!

[de Boer, Hubeny, Rangamani, Shigemori; Son, Teaney]

En la correspondencia norma/gravedad,
¡¡Hawking = Brown!!



Muchas Otras QGP-Aplicaciones...

- Apantallamiento [Liu,Rajagopal,Wiedemann; Chernicoff,García,AG; Peeters,Sonnenschein,Zamaklar; etc.]
- Velocidad límite [Argyres,Edalati,Vázquez-Poritz; Gubser; Casalderrey,Teaney; Mateos,Myers,Thomson; Ejaz et al.;etc.]
- Pérdida de energía de partones ligeros [Chesler,Jensen,Karch,Yaffe; Gubser,Gulotta,Pufu,Rocha; Arnold,Vaman, etc.]
- Plasma en expansión [Janik,Peschanski; Shuryak,Sin,Zahed; Nastase; Nakamura,Sin; Friess,Gubser,Michalogiorgiakis,Pufu; etc.]
- Plasma anisotrópico [Mateos,Trancanelli; etc.]
- Termalización [Balasubramanian et al.; Chesler,Teaney; etc.]
- Radiación Cherenkov de mesones [Casalderrey,Mateos; etc.]
- Etc.

Se han explorado aplicaciones similares a sistemas fuertemente acoplados de **materia condensada y física atómica**

[Son; Balasubramanian,McGreevy; Kachru,Liu,Mulligan; Gubser; Hartnoll,Herzog,Horowitz; Hartnoll,Polchinski,Silverstein,Tong; Sachdev; Huijse,Sachdev; Faulkner,Iqbal,Liu,McGreevy,Vegh; Deneff,Hartnoll,Sachdev; Horowitz,Way; Jensen,Kachru,Karch,Polchinski,Silverstein; Faulkner,Polchinski; Huijse,Sachdev,Swingle; Hartnoll,Tavanfar; Hartnoll,Hofman,Vegh; Horowitz,Santos; etc.]

En años recientes se ha hecho también contacto con (y uso de) el área de **información cuántica**, particularmente a través de la noción de **entrelazamiento** ...

Entrelazamiento

2 o más objetos alejados pueden tener un comportamiento coordinado, en el sentido de que su indecisión cuántica es compartida:

[Einstein, Podolsky, Rosen]

No entrelazado $|\psi\rangle = (|\uparrow\rangle_I + |\downarrow\rangle_I) \otimes (|\uparrow\rangle_D + |\downarrow\rangle_D)$

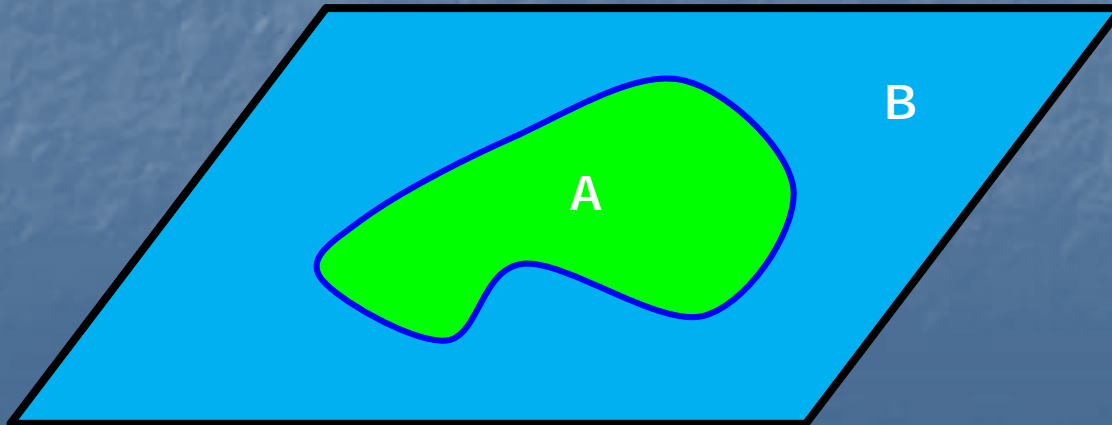
Entrelazado $|\psi\rangle = |\uparrow\rangle_I \otimes |\downarrow\rangle_D + |\downarrow\rangle_I \otimes |\uparrow\rangle_D$



Entropía de Entrelazamiento

- Dividir al sistema cuántico en 2 subsistemas A y B
- Dado un estado, tomar traza sobre grados de libertad de B
- Grados de libertad de A se describen entonces con una matriz de densidad ρ_A
- Calcular la correspondiente **entropía de von Neumann**

$$S_{EE}(A) = -\text{Tr}(\rho_A \ln \rho_A)$$



Entropía de Entrelazamiento

- Dividir al sistema cuántico en 2 subsistemas A y B
- Dado un estado, tomar traza sobre grados de libertad de B
- Grados de libertad de A se describen entonces con una matriz de densidad ρ_A
- Calcular la correspondiente **entropía de von Neumann**

$$S_{EE}(A) = -\text{Tr}(\rho_A \ln \rho_A)$$

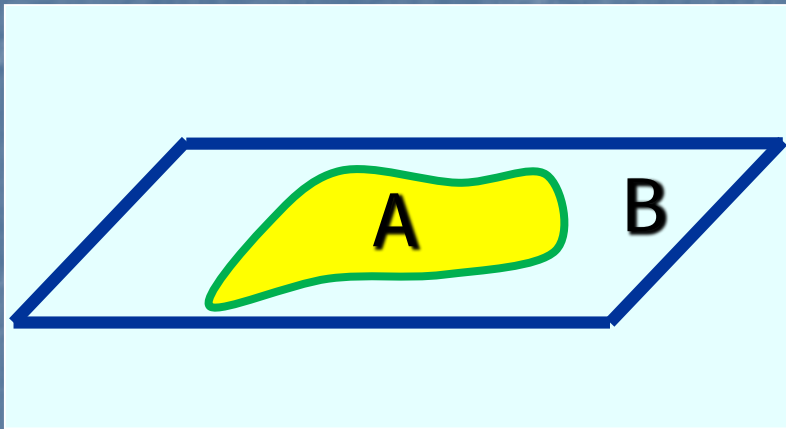
P.ej.,

$$|\psi'\rangle = \frac{1}{2} (|\uparrow\uparrow\rangle + |\uparrow\downarrow\rangle + |\downarrow\uparrow\rangle + |\downarrow\downarrow\rangle)$$

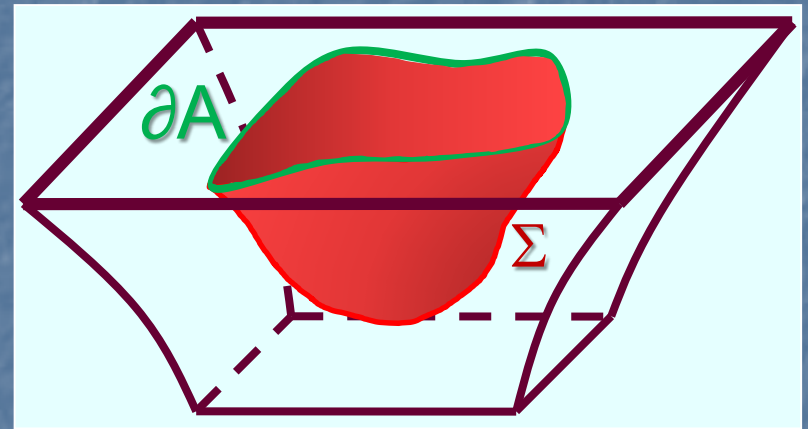
$$= \frac{1}{2} (|\uparrow\rangle + |\downarrow\rangle) \otimes (|\uparrow\rangle + |\downarrow\rangle) \quad \Rightarrow \quad S_{EE} = 0$$

$$|\psi''\rangle = \frac{1}{2} (|\uparrow\uparrow\rangle + |\uparrow\downarrow\rangle + |\downarrow\uparrow\rangle - |\downarrow\downarrow\rangle) \quad \Rightarrow \quad S_{EE} = \log 2$$

Aplicación 3: Entrelazamiento



=



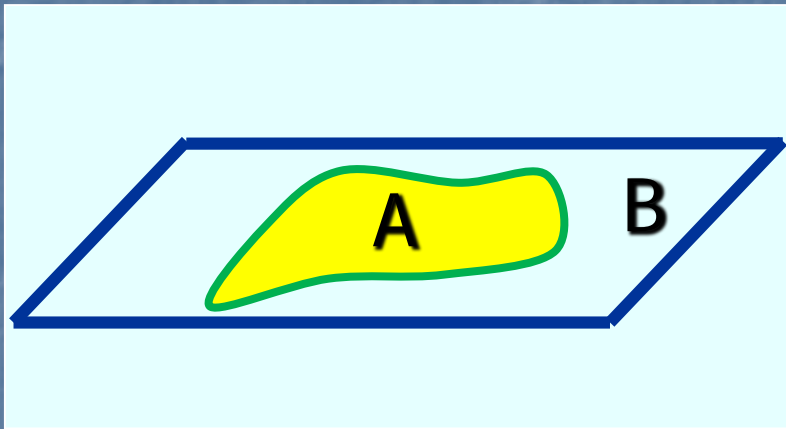
$$S_{EE}(A) = \text{ext}_{\partial A = \partial \Sigma} \frac{\text{Area}_{\Sigma}}{4G_N} \quad [\text{Ryu, Takayanagi; Hubeny, Rangamani, Takayanagi; Lewkowycz, Maldacena}]$$

Entrelazamiento: propiedad inherentemente **cuántica**

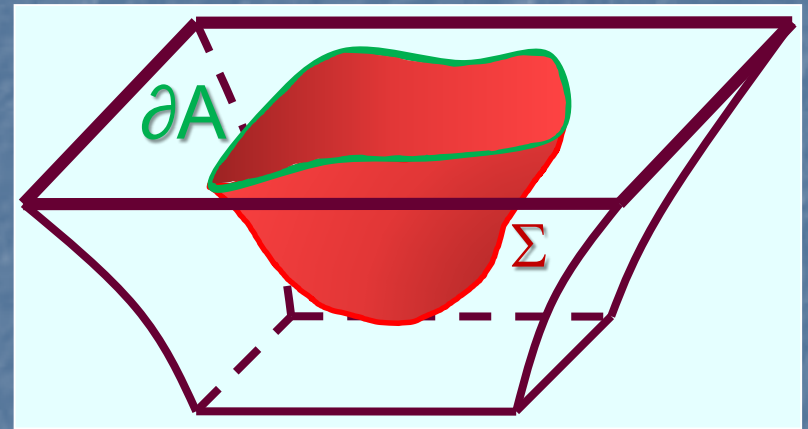


Área: propiedad **clásica**

Aplicación 3: Entrelazamiento



=

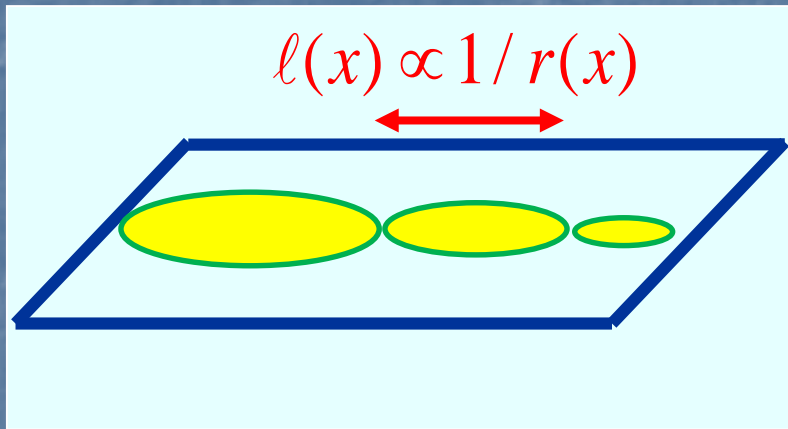


$$S_{EE}(A) = \text{ext}_{\partial A = \partial \Sigma} \frac{\text{Area}_{\Sigma}}{4G_N} \quad [\text{Ryu, Takayanagi; Hubeny, Rangamani, Takayanagi; Lewkowycz, Maldacena}]$$

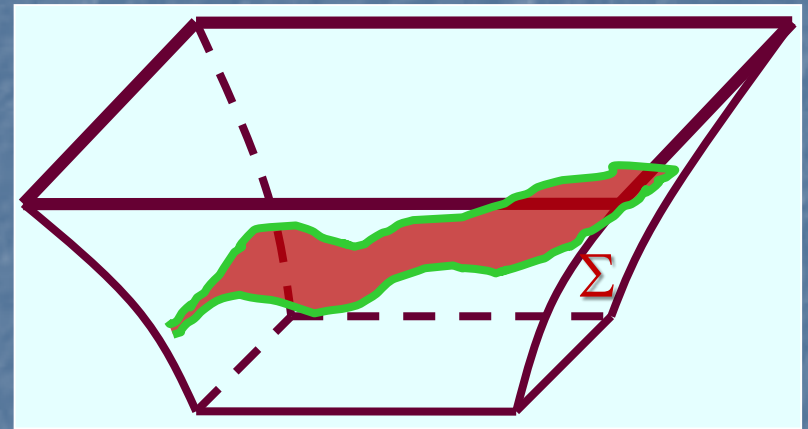
Conduce a resultados (¡en teorías de campos fuertemente acopladas!) que son consistentes con un número infinito de propiedades esperadas (ley de área, subaditividad fuerte, entropía térmica, contacto con anomalías, etc.)

[Headrick, Takayanagi; Hayden, Headrick, Maloney; Hung, Myers, Smolkin; Casini, Huerta, Myers; Holzhey, Larsen, Wilczek; Myers, Sinha; Calabrese, Cardy; etc.]

Aplicación 4: Geometría Emergente



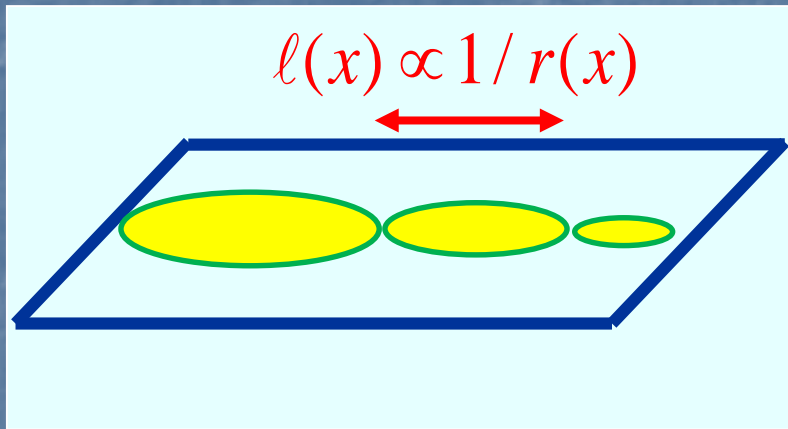
=



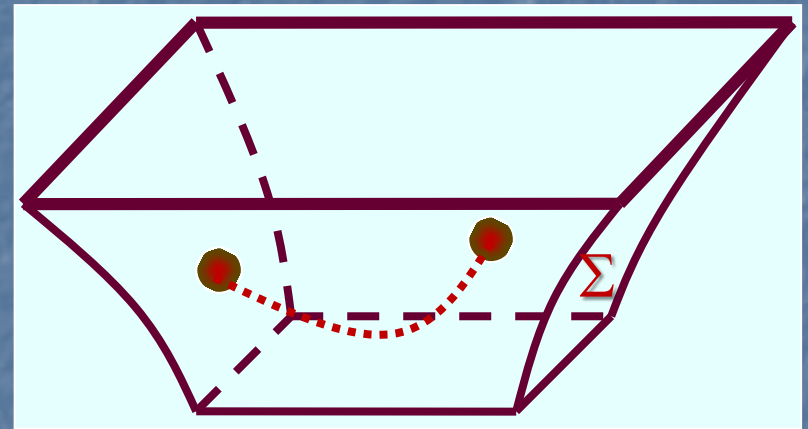
$$\int dx \left. \frac{dS_{EE}(\ell)}{d\ell} \right|_{\ell=l(x)} = \frac{\text{Area}_{\Sigma}}{4G_N}$$

[Balasubramanian, Chowdhury, Czech, de Boer, Heller; Bianchi, Myers; Myers, Rao, Sugishita; Czech, Dong, Sully; Headrick, Myers, Wien]

Aplicación 4: Geometría Emergente



=



$$\int dx \left. \frac{dS_{EE}(\ell)}{d\ell} \right|_{\ell=l(x)} = \frac{\text{Area}_{\Sigma}}{4G_N}$$

[Balasubramanian, Chowdhury, Czech, de Boer, Heller; Bianchi, Myers; Myers, Rao, Sugishita; Czech, Dong, Sully; Headrick, Myers, Wien]

¡Permite DEFINIR noción de **puntos** y **distancia** en geometría a partir de entrelazamiento en teoría de campos (con interpretación en teoría de información cuántica)!

[Czech, Lamprou; Czech, Hayden, Swingle]

$$\sum e^{-\beta E_i} \quad \begin{array}{c} \text{Diagram 1: A vertical rectangle with a curved right boundary.} \\ \text{Diagram 2: A vertical rectangle with a curved left boundary.} \end{array} \quad = \quad \begin{array}{c} \text{Diagram 3: A square with two diagonal lines forming an 'X' and wavy horizontal lines near the top and bottom edges.} \end{array}$$

E_i E_i

Existen varios otros indicios interesantes de que el **entrelazamiento** juega un papel crucial en el contexto de la gravedad cuántica: es el 'pegamento' entre regiones que de otro modo serían disjuntas

[Van Raamsdonk; Maldacena, Susskind; Maldacena; Czech, Karczmarek, Nogueira, VanRaamsdonk; etc.]

E incluso hay una propuesta que afirma que la correspondencia ES justamente una descripción del entrelazamiento a distintas escalas (\sim MERA) [Swingle; Czech; etc.]

Resumen de AdS/CFT

SYM $\mathcal{N} = 4$ $SU(N_c)$ = T. de Cuerdas IIB en $AdS_5 \times S^5$

Hemos echado un vistazo a esta asombrosa correspondencia, al **diccionario** que la implementa, y a algunas de las principales líneas de **evidencia** que la apoyan

Independientemente de cualquier otra cosa, SYM es una teoría plenamente cuántica, y hemos mostrado que incluye a la gravedad, es decir, ¡¡que es una **teoría de gravedad cuántica!!**

En esta teoría, tenemos un **espaciotiempo plenamente dinámico** (solo queda fijo en la frontera, pero eso tiene justificación dinámica: fluctuaciones de estructura asintótica costarían energía infinita)

Resumen de AdS/CFT

SYM $\mathcal{N} = 4$ $SU(N_c)$ = T. de Cuerdas IIB en $AdS_5 \times S^5$

La teoría de norma incluye a mucho más que solo la gravedad, y más incluso que SUGRA: incorpora a todos los **modos masivos de las cuerdas IIB**, y se puede mostrar que también incluye a los correspondientes objetos no perturbativos, ¡como **D-branas!**

Conclusiones

- 1) La **correspondencia holográfica** establece una muy sorprendente **equivalencia** entre teorías no gravitacionales y teorías de cuerdas y/o gravedad. ¡Es en sí misma un muy interesante objeto de estudio!
- 2) Esta correspondencia ya ha resultado **útil** como herramienta para entender aspectos del comportamiento de algunas **teorías fuertemente acopladas** (tipo QCD, BSM, superconductores, etc.)
- 3) La correspondencia define una **teoría de gravedad cuántica completa** (para fondos con ciertas asintopias), y constituye la **mejor definición no perturbativa que tenemos para la teoría de cuerdas**
- 4) Existen varias **limitaciones**: no tenemos todavía el diccionario completo de esta equivalencia, ni podemos hacer cuentas directamente en los sistemas reales
- 5) **¡Falta mucho por entender y hacer!**